

به نام خدا

کنترل هوشمند موتور DC با استفاده از ANFIS

گردهآوری

احمدرضا سعیدی

كلمات کلیدی

فازی-عصبی، کنترل کننده PID، Simulink، موتور DC

چکیده

این پایان نامه به کنترل سرعت موتور DC با استفاده از سیستم کنترل فازی-عصبی تطبیقی (Adaptive Neuro-Fuzzy Inference System) می‌پردازد. این کنترل کننده بر اساس کنترل فازی-عصبی تطبیقی پایه گذاری شده است و هدف کلی آن کاهش خطای حالت ماندگار (rise time) و زمان خیز (stady state error) می‌باشد.



فهرست

۴	چکیده
۵	فصل اول
۵	۱. مقدمه
۶	۱-۱. مقدمه ای بر <i>dSPACE</i> و <i>simulink</i>
۷	۱-۲. مدلسازی موتور DC
۸	۱-۳. مشخصات الکتریکی
۹	۱-۴. طراحی موتور DC در سیمولینک
۱۰	۱-۵. کنترل آبشاری موتور DC
۱۳	فصل دوم
۱۳	۲. سیستم های استنتاج فازی - عصبی تطبیقی
۱۳	۲-۱. سیستم استنتاج فازی
۱۴	۲-۱-۱. سیستم استنتاج فازی از نوع سوگنو
۱۵	۲-۱-۲. شبکه های تطبیقی
۱۶	۲-۲. ساختار ANFIS
۱۸	۲-۳. الگوریتم یادگیری هیبریدی
۱۹	۲-۴. نکات
۱۹	۲-۵. محدودیت های ANFIS
۱۹	۲-۶. یادگیری ANFIS
۲۲	فصل سوم
۲۲	۳. طراحی کنترل کننده
۲۲	۳-۱. طراحی کنترل کننده PID
۲۳	۳-۱-۱. مشخصات کنترل کننده PID
۲۳	۳-۱-۲. تنظیم کردن PID
۲۴	۳-۱-۳. کنترل کننده سرعت PID
۲۵	۳-۱-۴. کنترل کننده جریان PID

۲۵ ۳-۲. طراحی کنترل کننده <i>ANFIS</i>
۳۰ فصل چهارم
۳۰ ۴. شبیه سازی
۳۰ ۱-۴. شبیه سازی <i>PID</i>
۳۱ ۲-۴. شبیه سازی <i>ANFIS</i>
۳۲ ۱-۲-۴. مقایسه کنترل کنند های <i>PID</i> و <i>ANFIS</i> در گشتاور بار ثابت
۳۳ ۲-۲-۴. مقایسه کنترل کنند های <i>PID</i> و <i>ANFIS</i> در گشتاور بارهای مختلف
۳۷ ۴-۳. عملکرد کنترلهای <i>ANFIS</i> و <i>PID</i> در گشتاورهای بار آشفته
۴۱ فصل پنجم
۴۱ ۵. اجرای سیستم در زمان واقعی (<i>real-time</i>)
۴۵ ۵-۱-۱. نتایج اجرا در زمان واقعی کنترلر <i>ANFIS</i>
۴۶ ۵-۲-۵. مدل سیمولینک در زمان واقعی کنترل کننده <i>PID</i>
۴۶ ۵-۲-۵. نتایج تحلیل زمان واقعی کنترل کننده <i>PID</i>
۴۷ ۵-۳-۵. نتایج شبیه سازی زمان واقعی برای بارهای آشفته (پارازیتی)
۵۰ فصل ششم
۵۰ ۶. نتیجه گیری
۵۰ ۶-۱. کارهای بعدی
۵۲ پیوست A
۵۲ پارامترهای موتور DC
۵۳ پیوست B
۵۳ مقدمه ای بر <i>dsPACE</i>
۵۳ برد کنترلی <i>DS1104R8D</i>
۵۶ نرم افزار <i>dsPACE</i>
۶۰ ۶-۲(B) : بورد درایو الکتریکی
۶۲ پیوست C
۶۴ پیوست D

چکیده

مزیت اصلی استفاده از موتور DC در جهان امروز قابلیت کنترل راحت سرعت و زاویه موتور آن است. خیلی از سیستم های کنترلی طراحی شده اند تا با کاهش اورشورت ها و زمان نشست عملکرد بهتری را برای موتور ایجاد کنند. این پایان نامه به کنترل سرعت موتور DC با استفاده از سیستم کنترل فازی - عصبی تطبیقی (*Adaptive Neuro- Fuzzy Inference System*) می پردازد. این کنترل کننده بر اساس کنترل فازی - عصبی تطبیقی پایه گذاری شده است و هدف کلی آن کاهش خطای حالت ماندگار (*rise time*) و زمان خیز (*stady state error*) می باشد.

یک کنترل کننده *PID* در این پایان نامه طراحی می شود تا براساس اطلاعات یادگرفته شده از سیستم توسط *ANFIS* سرعت موتور را کنترل کند. ما این سیستم کنترل را با نرم افزار *MATLAB* و با استفاده از قسمت *Simulink* آن شبیه سازی می کنیم.

عملکرد دو نوع سیستم کنترل *ANFIS PID* و *PID* در گشتاورهای بار مختلف در این پایان نامه ارزیابی می شود.

اجرای عملی این سیستم در آزمایشگاه موتور DC با موفقیت بوسیله رابط *Dspace* انجام شده است. در این پایان نامه نتایج حاصل از شبیه سازی کامپیوتری با نتایج عملی مقایسه می شوند.

فصل اول

۱. مقدمه

موتور **DC** در کاربردهای فراوانی استفاده می شود. به دلیل قابلیت کنترل راحت و عملکرد سریع موتور **DC** این موتورها در محدوده وسیعی از سرعت ها قابل تنظیم می باشند.

کنترل کننده های سرعت که طراحی می شوند تا سرعت موتور **DC** را برای انجام انواع وظایف کنترل کنند، بر دو نوع پیوسته (آنالوگ) و گسسته (دیجیتال) می باشند. کنترل کننده ها می توانند در انواع متناسب **P** (Proportional)، متناسب - انتگرال گیر (Proportional- Integral)، متناسب - انتگرال گیر - مشتق گیر (Proportional-Integral-Derivative) ، شبکه های عصبی ، منطق فازی و یا ترکیبی از اینها باشد.

در قسمت [1 و 2] کنترل کننده موtor با استفاده از کنترل کننده **PID** طراحی می شوند. مشکل کنترل کننده های **PID** تنظیم مشکل آن و داشتن اورشوت می باشد. همچنین کارهای زیادی در زمینه کنترل موتورهای **DC** با استفاده از شبکه های عصبی و ترکیب عصبی - **PID** انجام شده است. یک شبکه عصبی می تواند با استفاده از مزیت های یادگیری ماشین و الگوریتم های یادگیری ، یک سیستم را کنترل کند. اما استفاده از یک شبکه عصبی کنترل کننده برای کنترل یک سیستم زمان زیادی می گیرد.

این به خاطر آن است که در ابتدا نرم افزار کنترل کننده باید زمان زیادی را برای یادگیری از سیستم صرف کند.

کنترل کننده های منطق فازی نیز امروزه در بسیاری از کاربردهای کنترلی برای سیستم های پیچیده و غیرخطی توسعه یافته اند.

در قسمت [5] در مورد کنترل کننده های موtor **DC** با استفاده از منطق فازی بحث شده است. عیب استفاده این نوع سیستم کنترلی این است که این سیستم ها مبتنی بر قواعد «اگر - آنگاه» هستند که این قواعد را ما از توصیف سیستم بدست آورده ایم. چون ما در مورد رفتار اکثر سیستم اطلاعات زیادی نداریم نتیجه گرفتن از این نوع سیستم ها مشکل است.

کاری که در این پژوهش انجام شده استفاده از ترکیب شبکه های عصبی و منطق فازی در کنترل ماشین است. اما این کنترل کننده قبل از انجام کار کنترلی آن به دلیل داشتن شبکه عصبی در آن در ابتدا نیاز

به زمانی برای یادگیری دارد . یک شبکه عصبی دارای این مزیت است که می تواند رفتار سیستم را یاد بگیرد و حدس بزند .

منطق فازی، منطقی است بر اساس قواعد مبتنی بر دانش . قلب یک سیستم فازی یک پایگاه دانش بوده که از قواعد « اگر – آنگاه » فازی تشکیل شده است . این قواعد به صورت عبارت ساده قابل فهم روزانه ساخته می شوند . این قواعد را افراد خبره که رفتار سیستم را کاملاً می شناسند با زبان طبیعی تعریف می کنند .

یک سیستم کنترلی فازی – عصبی تطبیقی از مزیت های هر دو نوع سیستم کنترلی فازی و عصبی کمک می گیرد . این پایان نامه به بررسی کنترل سرعت موتور DC مبتنی بر *ANFIS* می پردازد . روش کنترلی آبشاری (*cascade control*) نیز برای کنترل موتور DC در این پایان نامه بحث می شود . مدل ها در محیط *Matlab/ simulink* ساخته می شوند و مدل های ساخته شده با استفاده از رابط *dSPACE5.0* به سخت افزار وصل می شوند . سخت افزاری که برای این کار استفاده می شود شامل یک *Lab-Kit Dc* و یک بورد درایو الکتریکی می باشد . مشخصات موتور DC مورد استفاده قرار گرفته در این آزمایش به شرح زیر است .

ولتاژ ماقسیمم	۴۲V
سرعت	۴۰۰ rpm
جریان نامی	4/8 آمپر در هر فاز
توان نامی	250 ولت
شرکت سازنده	<i>motorsoft</i>

یک منبع تغذیه DC رگوله شده بوسیله بورد درایو الکتریکی ایجاد می شود که ولتاژ لازم برای درایو کردن موتور DC (معمولاً 42 ولت) را فراهم کند . برای اطلاعات بیشتر در مورد درایو بورد الکتریکی به پیوست 2. B مراجعه کنید . در قسمت 1-1 این فصل مروری بر *dSPACE* و *simulink* و خواهیم داشت . مدل ریاضی موتور DC و طراحی آن در *simulink* در قسمت 1-2 بررسی می شود . روش کنترل آبشار (*cascade control*) در فصل 1-3 بحث می شود .

1-1. مقدمه ای بر *dSPACE* و *simulink*

مدل سازی ، طراحی و آنالیز کنترلر در *Matlab/ simulink* انجام می شود . شبیه سازی مدل ریاضی سیستم با استفاده از *simulink* انجام می شود .

Simulink کمک می کند تا مسائل را به صورت گرافیکی تحلیل کنیم که این کار با اتصال بلوکهای *Simulink* مختلف به هم و شکل دهی معادلات دیفرانسیل به صورت گرافها و نمودارها انجام می شود. شبیه نمونه برداری یک کامپیوتر دیجیتال از یک کامپیوتر آنالوگ عمل می کند. همه بلوکها سیمولینک در کتابخانه آن موجود می باشند. وقتی مدل در سیمولینک ساخته شد و به کد ماشین تبدیل شد آماده اجرا در پردازشگر *DSP* می گردد. این امکان را فراهم می کند که کنترلر طراحی شده در سیمولینک را به راحتی در زمان واقعی در حال کارکرد واقعی آزمایش کرد. این کار با دانلود کردن مدل در *DSP* انجام می شود.

مزیت استفاده از *DSP* این است که می تواند مستقیماً با سیمولینک ارتباط برقرار کند ویژگی اصلی *DSPACE* این است که دارای معماری باز (*Open architect*) می باشد که این امکان را فراهم می کند تا هر الگوریتم کنترلی روی هر ماشین استاندارد اجرا و آزمایش شود. ویژگی دیگر *DSPACE* قابلیت پیکربندی آن به صورت گرافیکی (*graphical user interface*) می باشد. مطالب بیشتر در مورد *dSPACE* در پیوست 1. مطابق با شکل 1.1 رسم شده است که در آن :

۲-۱. مدلسازی موتور DC

یک موتور DC آهنربای دائم نیروی الکتریکی را به نیروی مکانیکی تبدیل می کند. مدار الکتریکی یک موتور DC در شکل 1.1 رسم شده است که در آن :

: گشتاور اصطکاک T_w

: ولتاژ تغذیه موتور V_a

: گشتاور اینرسی T_w

: مقاومت آرمیچر R_a

: ممان اینرسی J

: ضریب دمپینگ B

: گشتاور بار T_l

: اندوکتانس La

: گشتاور الکترومغناطیسی T_e

: ولتاژ القایی E_a

: ثابت ولتاژ القایی Ke

: سرعت موتور Wa

: ثابت گشتاور Kt

می باشد

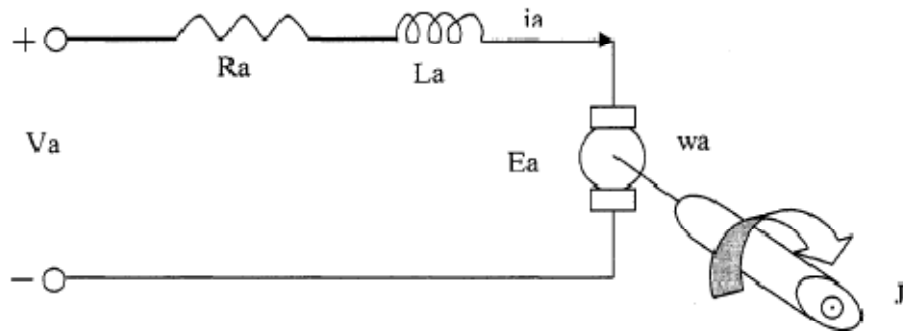


Figure 1.1. Electrical Circuit of a DC motor

۱-۳. مشخصات الکتریکی

با زدن یک *KVL* در مدارشکل ۱.۱ یک معادله دیفرانسیل از آن حاصل می شود.

$$V_a - V_{ra} - V_{ia} - V_c = 0 \quad (1.1)$$

با توجه به قانون اهم داریم :

$$V_{ra} = i_a R_a \quad (1.2)$$

ولتاژ دو سر سلف متناسب با مشتق جریان گذرنده از سلف نسبت به زمان می باشد که می توان نوشت

$$V_{ia} = L_a \frac{di_a}{dt} \quad (1.3)$$

ولتاژ القایی (*back emf*) را می توان به صورت زیر نوشت:

$$E_a = k_e \omega_a \quad (1.4)$$

با جایگذاری روابط (۱.۲) و (۱.۳) در (۱.۱) نتیجه می شود :

$$V_a - i_a R_a - L_a \frac{di_a}{dt} - k_e \omega_a = 0 \quad (1.5)$$

قانون بقای انرژی ایجاد می کند که جمع گشتاور های موجود در موتور باید برابر صفر باشد. بنابراین

داریم :

$$T_e - T_\omega - T_{\alpha} - T_l = 0 \quad (1.6)$$

گشتاور الکترومغناطیس با جریان سیم پیچ آرمیچه متناسب است و می توان نوشت :

$$T_e = k_t i_a \quad (1.7)$$

$$T_a = J \frac{d\omega_a}{dt} \quad (1.8)$$

$$T_a = B \omega_a \quad (1.9)$$

با جایگذاری روابط (1.7) و (1.8) و (1.9) در (1.6) معادله دیفرانسیل زیر نتیجه میشود :

$$k_t i_a - J \frac{d\omega_a}{dt} - B \omega_a - T_l = 0 \quad (1.10)$$

با مرتب کردن معادلات (1.5) و (1.10) به صورت معادلات حالت ، می توان نوشت :

$$\frac{di_a}{dt} = -\frac{R_a}{L_a} i_a - \frac{k_t}{L_a} \omega_a + \frac{V_a}{L_a} \quad (1.11)$$

$$\frac{d\omega_a}{dt} = \frac{k_t}{J} i_a - \frac{B}{J} \omega_a - \frac{T_l}{J} \quad (1.12)$$

معادلات (1.11) و (1.12) در فرم ماتریسی به صورت زیر در می آیند:

$$\frac{d}{dt} \begin{bmatrix} i_a \\ \omega_a \end{bmatrix} = \begin{bmatrix} -\frac{R_a}{L_a} & -\frac{k_t}{L_a} \\ \frac{k_t}{J} & -\frac{B}{J} \end{bmatrix} \begin{bmatrix} i_a \\ \omega_a \end{bmatrix} + \begin{bmatrix} \frac{1}{L_a} & 0 \\ 0 & -\frac{1}{J} \end{bmatrix} \begin{bmatrix} V_a \\ T_l \end{bmatrix}$$

$$\begin{bmatrix} Y_1 \\ Y_2 \end{bmatrix} = \begin{bmatrix} 1 & 0 \\ 0 & 1 \end{bmatrix} \begin{bmatrix} i_a \\ \omega_a \end{bmatrix} + \begin{bmatrix} 0 & 0 \\ 0 & 0 \end{bmatrix} \begin{bmatrix} V_a \\ T_l \end{bmatrix}$$

با اعمال تبدیل لاپلاس بر روی معادلات (1.11) و (1.12) خواهیم داشت :

$$L(s) = \frac{V_a(s) - E_a(s)}{R_a + sL_a} \quad (1.13) \quad \text{where} \quad E_a(s) = k_t \omega_a(s)$$

$$\omega_a(s) = \frac{T_e(s) - T_l(s)}{sJ + B} \quad (1.14) \quad \text{where} \quad \begin{aligned} T_e(s) &= k_t I_a(s) \\ k_t &= k_t \end{aligned}$$

۱-۴. طراحی موتور DC در سیمولینک

از معادلات فوق بلوک دیاگرام موتور DC بدست می آید که در زیر نشان داده شده است.

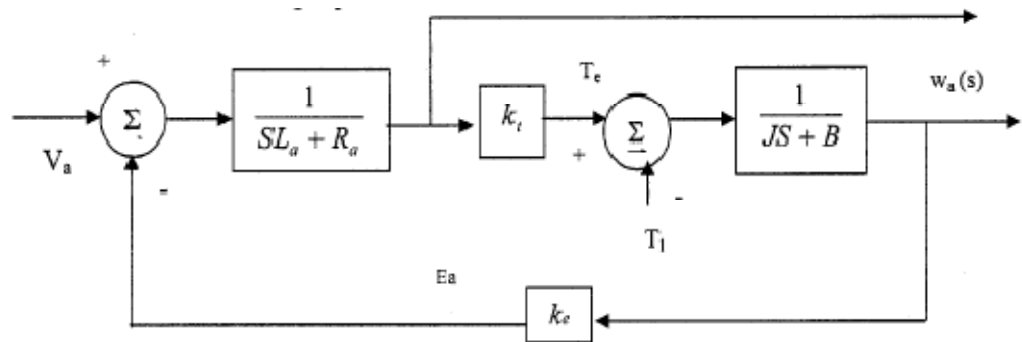


Figure 1.2. Block diagram representation of DC motor

بنابراین با ملاحظه بلوک دیاگرام فوق ما می توانیم بلوک دیاگرام موتور **DC** را در سیمولینک بسازیم که در شکل ۱.۳ نشان داده شده است:

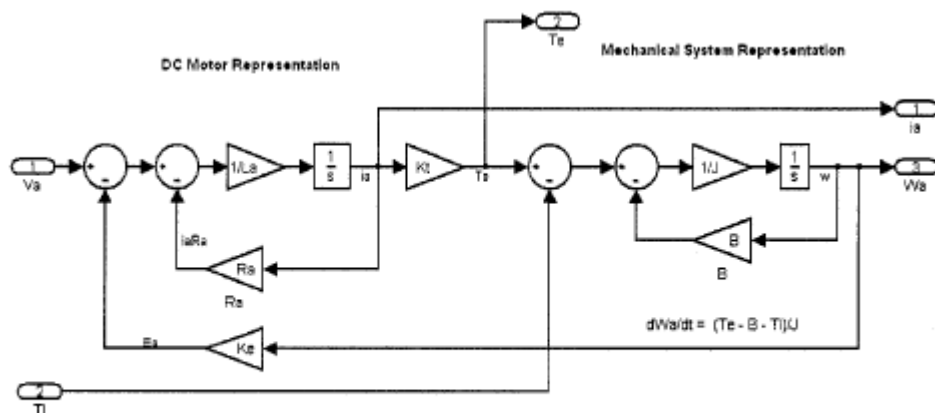


Figure 1.3. Simulink diagram of DC motor

پارامترهای موتور **DC** در پیوست *A* بحث شده است.

۱-۵. کنترل آبشاری موتور **DC**

یک سیستم کنترلی آبشاری شامل دو حلقه فیدبک است که برای کنترل سرعت موتور **DC** استفاده می شود و عملکرد سیستم را نسبت به سیستم کنترلی تک حلقه ارتقا می بخشد. حلقه کنترلی داخلی برای کاهش پارازیت های روی حلقه دوم استفاده می شود در حالی که حلقه خارجی برای کاهش حساسیت متغیرهای مرحله اول نسبت به نوسانات بهره استفاده می شود.

سیستم کنترل آبشاری مورد بحث در این پایان نامه دو نوع کنترل کننده را با هم در گیر می کند. یکی کنترل کننده سرعت که برای کنترل جریان موتور **DC** می باشد و دیگری کنترل کننده جریان است که برای کنترل جریان موتور **DC** می باشد. شکل زیر سیستم کنترل آبشاری موتور **DC** را نشان می دهد.

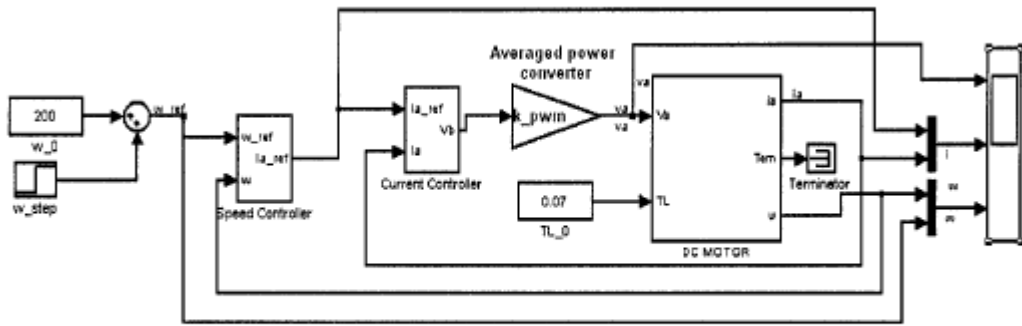


Figure 1.4. Cascade control of DC motor

کنترل کننده سرعت که حلقه خارجی می باشد دو ورودی دارد. یکی از ورودی ها سرعت مطلوب (مرجع) می باشد و ورودی دیگر سرعت موتور *DC* می باشد که از خروجی موتور فیدبک گرفته می شود.

کنترل کننده سرعت به گونه ای طراحی می شود که خروجی آن، سیگنال مطلوب (مرجع) برای کنترل کننده جریان باشد. کنترل کننده سرعت در بلوک دیاگرام فوق حساسیت ها را نسبت به نوسانات بهره کاهش می دهد. حلقه داخلی در بلوک دیاگرام کنترل آبشاری، کنترل کننده جریان می باشد. خطای محاسبه شده جریان مطلوب (مرجع) که از کنترل کننده سرعت گرفته می شود و جریان واقعی که از موتور گرفته می شود و ورودی این کنترل کننده می باشد. این کنترل کننده برای بهتر کردن پاسخ گذاری سیستم و محدود کردن جریان موتور استفاده می شود. خروجی کنترل کننده جریان به یک مدوله کننده پهنای پالس *Pulse width modulator* (*PWM*) داده می شود که ولتاژ ترمینال خروجی را کنترل می کند.

سیستم استنتاج فازی - عصبی تطبیقی (*ANFIS*) در فصل 2 بحث می شود. در بحث سیستم استنتاج فازی، سیستم استنتاج فازی «سوگنو» که در *ANFIS* استفاده می شود توضیح داده می شود. الگوریتم یادگیری هیبریدی که کلید اصلی *ANFIS* است، در ادامه بحث یادگیری *ANFIS* به آن پرداخته می شود. در فصل سوم راهکارهای طراحی کنترل کننده ارائه می شود. طراحی کنترل کننده *PID* در قسمت (۱-۳) این فصل بررسی می شود که درابتدا مشخصات کنترل کننده های *D, I, P* در آن بحث می شود و سپس کنترل کننده های *PID* برای طراحی کنترل کننده سرعت و جریان از نوع *PID* توضیح داده می شود.

طراحی کنترل کننده *ANFIS* در قسمت (3-2) از این فصل توضیح داده می شود. نتایج شبیه سازی کنترل کننده های *PID* و *ANFIS* در فصل چهارم ارائه می شود. در فصل عملکرد کنترل کننده های

برای گشتاورهای بار مختلف ارزیابی می شود. اجرای عملی کنترل کننده های **PID** و **ANFIS** و نتایج آن در فصل پنجم مورد بررسی قرار می گیرد.

۲. سیستم های استنتاج فازی - عصبی تطبیقی

Adptive Neuro- Fuzzy base) یا *(Adptive Network- base Inference System) ANFIS مخفف (Inference System*

به معنای سیستم استنتاج فازی - عصبی تطبیقی می باشد . یک شبکه عصبی تطبیق دارای مزیت های توانایی یادگیری ، بهینه سازی و متعادل سازی می باشد. در حالی که یک منطق فازی یک روش مبتنی بر قواعد می باشد که این قواعد توسط علم افراد خبره ساخته می شوند. عملکرد و تاثیر خوب منطق فازی در سیستم های غیرخطی و پیچیده به اثبات رسیده است.

ANFIS مزیت استفاده از شبکه عصبی تطبیقی و منطق فازی را با هم ترکیب میکند.

۱-۲. سیستم استنتاج فازی

سیستمی که یک نگاشت از ورودی به خروجی را با استفاده از منطق فازی فرموله میکند به نام سیستم استنتاج فازی (*Fuzzy Inference System FIS*) شناخته می شود. سیستم استنتاج فازی همچنین به نام سیستم مبتنی بر قواعد نیز نامیده می شود. زیرا این سیستم ها از تعدادی عبارت «اگر - آنگاه» ساخته شده است. وقتی چنین سیستم هایی در نقش کنترلی ظاهر می شوند به آنها کنترل کننده های فازی می گویند. معماری اصلی *FIS* از پنج بلوک تابع تشکیل شده که در شکل زیر نشان داده شده است:

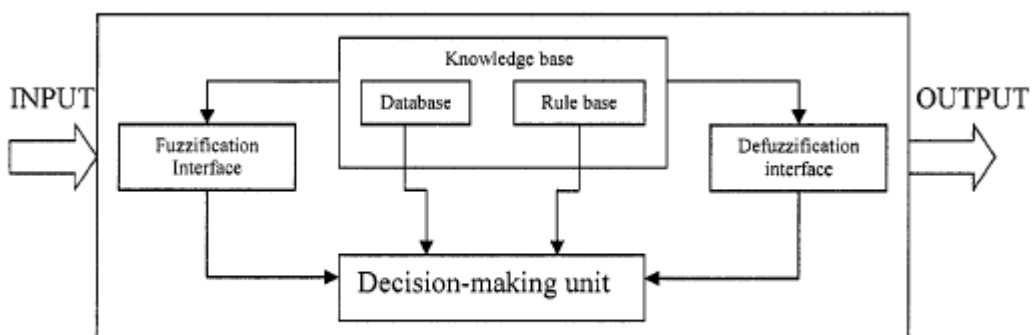


Figure 2.1. Fuzzy Inference System [10]

پایگاه قواعد (*Rule base*) : شامل قواعد و عبارات «اگر - آنگاه» فازی

پایگاه داده (*Data base*) : تعریف توابع عضویت

واحد تصمیم گیری (*Decision making unit*) : انجام عملیات روی قواعد فازی

رابطه فازی ساز (*Fuzzification interface*) : تبدیل ورودی های حقیقی به مجموعه های فازی

رابطه غیر فازی ساز (*Defuzzification interface*) : تبدیل نتایج فازی به مقادیر حقیقی

دو واحد پایگاه داده و پایگاه قواعد با هم تحت عنوان پایگاه دانش (*Knowledge base*) شناخته می

شوند. سیستم های استنتاج فازی را می توان به سه کلاس « ممدانی (*mamdani*) » ، « سوگنو

» و « تاکاگی (*Takagi*) » و « سوگنو (*sugeno*) » تقسیم کرد.

بسیاری از *FIS* ها از نوع ممدانی هستند که در این نوع ، اعضای مجموعه فازی خروجی را پیش بینی

می کنند. این در حالی است که در نوع سوگنو اعضای مجموعه فازی خروجی یا رابطه خطی با هم دارند

و یا ثابتند.

ANFIS از نوع سوگنو استفاده می کند.

۱-۱-۲. سیستم استنتاج فازی از نوع سوگنو

تاکاگی و سوگنو و کانگ مدل فازی سوگنو را در سال 1985 پیشنهاد و معرفی کردند. در این مدل

اعضای مجموعه فازی خروجی یا رابطه خطی با هم دارن یا ثابتند. یک عبارت یا قاعدة فازی نوعی می

تواند به صورت زیر باشد:

« اگر ورودی اول برابر x و ورودی دوم برابر با y باشد آنگاه خروجی $f(x,y) = z$ است »

اگر (x,y) به صورت یک چندجمله ای درجه I باشد، *FIS* را مدل فازی از درجه I می گویند. اگر

$f(x,y)$ ثابت باشد *FIS* مدل فازی سوگنو از درجه صفر نامیده می شود. یک مدل فازی سوگنو در شکل

2.2 نشان داده شده است که در آن خروجی کل از میانگین وزنی همه خروجی های حقیقی بدست می

آید.

گاهی اوقات به منظور کاهش زمان یادگیری *FIS* ، به جای میانگین وزنی از مجموع وزن های خروجی

استفاده می شود.

۲-۲. شبکه های تطبیقی

یک ساختار شبکه ای که تعدادی گره را بوسیله تعدادی لینک به هم مربوط می سازد، یک شبکه تطبیقی را تعریف میکند . گره ها در واقع واحدهای پردازش را بیان می کنند. ولینکها در واقع اتصال بین آن واحدهای پردازشی را بیان می کند. همه گره ها یا حداقل قسمتی از آنها منطبق بر طبیعت هستند یعنی خروجی سیستم از روی پارامترهای گره ساخته می شود . قواعد یادگیری به گونه ای ساخته می شوند که خطای سیستم را کم کنند و پارامترهای گره را آن گونه که باید باشند ،اصلاح کند.

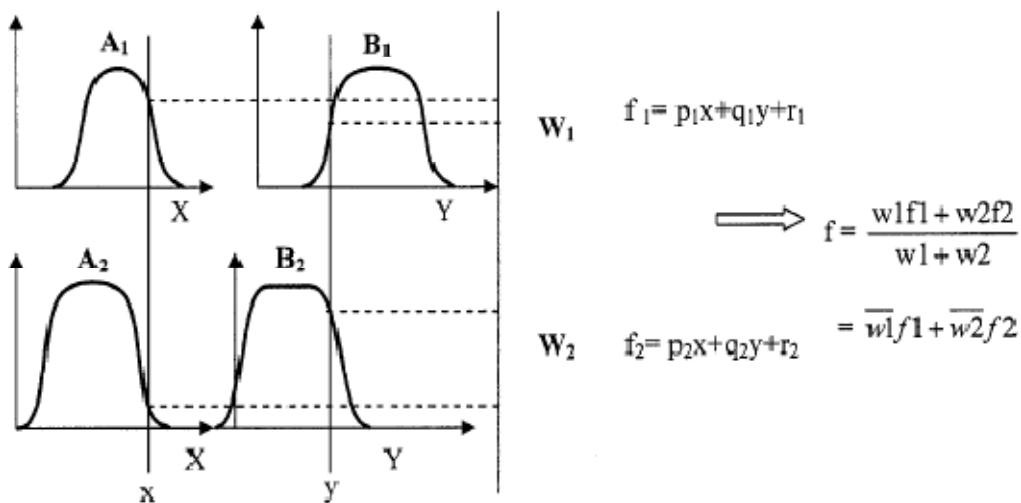


Figure 2.2. First order Sugeno fuzzy model [11]

روش « تندترین شیب » (*Steepest descent*) که توسط « وربو » معرفی شد . قاعده یادگیری پایه ای است که چگونگی بدست آوردن بردار گرادیان را توضیح می دهد .
بردار گرادیان مشتق خطای اندازه گیری شده نسبت به پارامترها می باشد .
یک نمونه ساده روش تندترین شیب به نام قاعده یادگیری *back-propagation* شناخته می شود که در آن بردار گرادیان در جهت عکس خروجی محاسبه می شود . خطای صورت اختلاف بین بردار مرجع و خروجی واقعی تعریف می شود .

$$E_p = \sum_{k=1}^{N(L)} (d_k - x_{L,k})^2 \quad (2.1)$$

که در آن d_k . $x_{L,k}$ امین مجموعه خروجی مطلوب و $N(L)$ تعداد لایه ها می باشد .
به طور کلی دو نوع الگوی یادگیری برای شبکه های تطبیقی ممکن است :

الف - یادگیری آفلاین : در این نوع یادگیری پارامترها ، فقط زمانی که اطلاعات خام به سیستم ارائه می شوند ، آبدیت می شوند . این نوع یادگیری را یادگیری گروهی می گویند.

ب - یادگیری آنلاین : در این نوع یادگیری پارامترها ، بعد از اینکه یک ورودی یا خروجی یا هر دوی آنها ارائه شدند ، سریعاً آپدیت می شوند.

همچنین می توان دو روش فوق را با هم ترکیب کرد و پارامترها را بعد از k عضو مجموعه دیتاها یادگیری آپدیت کرد که k بیانگر مقدار (*epoch*) می باشد.

از قاعده یادگیری هیبریدی که از ترکیب روش گرادیان و روش حداقل مربعات می باشد برای تعیین پارامترها استفاده می کند. الگوریتم یادگیری هیبریدی تنها زمانی که خروجی ترکیب خطی از ورودی باشد قابل اجرا می باشد.

۲-۳. ساختار ANFIS

یک مدل فازی سوگنو درجه یک با دو ورودی x و y و یک خروجی z در نظر بگیرید . قواعد فازی نوعاً می توانند به صورت زیر باشند:

$$\text{قاعده 1:} \begin{cases} f1 = p1x + q1y + r1 & \text{آنگاه } y = B1 \\ & \text{و } x = A1 \end{cases}$$

$$\text{قاعده 2:} \begin{cases} f2 = p2x + q2y + r2 & \text{آنگاه } y = B2 \\ & \text{و } x = A2 \end{cases}$$

خروجی کل میانگین وزنی خروجی ها می باشد . ساختار ANFIS عبارت فوق در شکل 2.3 نشان داده شده است:

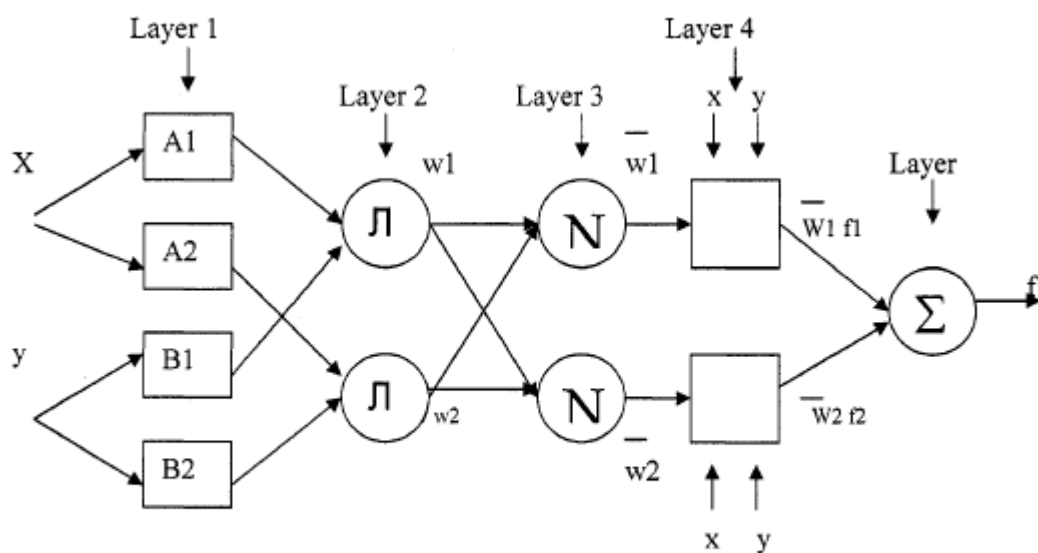


Figure 2.3. ANFIS Architecture [11]

این ساختار پنج لایه دارد . ملاحظه می شود گره های لایه های یکسان ، توابع یکسان دارند. گره خروجی I در لایه l با $O_{l,i}$ نامگذاری می شود.

لایه 1: هر گره در این لایه شامل یک گره تطبیقی با یکتابع گره است و داریم :

$$O_{1,i} = \mu A_i(x) \text{ for } i = 1,2 \text{ or, } O_{1,i} = \mu B_{i,2}(y), \text{ for } i = 3,4$$

که در آن x (یا y) ورودی گره I و Ai (یا $Bi-2$) یک مجموعه فازی مربوط به آن گره می باشد. به عبارات دیگر خروجی این لایه مقدار عضویت آن می باشد.

توابع عضویت برای A می توانند هر تابع عضویت پارامتری متناسب باشند.

هر پارامتر در این لایه به عنوان یک پارامتر پیش فرض نام بردہ می شود.

لایه 2 : هر گره در این لایه با n نامگذاری شده است و خروجی هرگره حاصلضرب همه سیگنالهای ورودی به آن گره می باشد. این گره ها عمل AND فازی را انجام می دهند و داریم :

$$O_{2,i} = \mu A_i(x) \wedge \mu B_i(y) \text{ for } i = 1,2$$

که در آن خروجی هر گره قدرت آتش هر قاعده (*firing strength*) را نشان می دهد.
لایه 3 : هر گره در این لایه با N نامگذاری شده است . گره های این لایه خروجی نرمالیزه شده هر قاعده را محاسبه می کند و داریم :

$$\bar{O}_{3,i} = \frac{\bar{w}_i}{\sum_i w_i}, \quad i=1,2,$$

که در آن wi قدرت آتش (*firing strength*) آن قاعده می باشد. خروجی این لایه قدرت آتش نرمالیزه شده نامیده می شود.

لایه 4: هرگره در این لایه وابسته به یک تابع گره می باشد و داریم:

$$O_{4,i} = \bar{w}_i f_i = \bar{w}_i (p_i x + q_i y + r_i) \quad i = 1, 2,$$

که در آن wi ، قدرت آتش نرمالیزه شده از لایه سوم است و $\{pi, qi, ri\}$ مجموعه پارامترهای گره i هستند . پارامترهای این لایه تحت عنوان « پارامترهای نتیجه شده » نامیده می شوند.

لایه 5: تنها گره موجود در این لایه با Σ نامگذاری شده است که مجموع تمام سیگنالهای ورودی به آن را محاسبه کرده و به خروجی می برد. لذا داریم:

$$O_{5,i} = \sum_i \overline{w_i} f_i = \frac{\sum_i w_i f_i}{\sum_i w_i} \quad i = 1, 2$$

که در آن $O_{5,i}$ خروجی i امین گره در لایه پنجم می باشد.

۴-۲. الگوریتم یادگیری هیبریدی

الگوریتم یادگیری هیبریدی ترکیبی از روش های حداقل مربعات و تندتری شبی می باشد. خروجی کل از شکل ۲.۳ می تواند به صورت زیر بیان شود.

$$\begin{aligned} f &= \frac{w_1}{w_1 + w_2} f_1 + \frac{w_2}{w_1 + w_2} f_2 \\ &= \overline{w_1} f_1 + \overline{w_2} f_2 \\ &= (\overline{w_1} x) p_1 + (\overline{w_1} y) q_1 + (\overline{w_1}) r_1 + (\overline{w_2} x) p_2 + (\overline{w_2} y) q_2 + (\overline{w_2}) r_2 \end{aligned} \quad (2.2)$$

از معادلات فوق می توان این را بیان داشت که خروجی ترکیبی خطی از پارامترهای نتیجه شده، $r_2, q_2, p_2, r_1, q_1, p_1$ می باشد. بنابراین وقتی پارامترهای پیش فرض ثابت هستند، خروجی کل ترکیبی خطی از پارامترهای نتیجه شده است و در این صورت الگوریتم یادگیری هیبریدی عملی می شود. جدول زیر الگوریتم یادگیری هیبریدی را کاملاً بیان می کند.

	Forward Pass	Backward Pass
Premise Parameters	Fixed	Gradient Descent
Consequent Parameters	Least-Squares Estimate	Fixed
Signals	Node Outputs	Error Signals

Table 2.1. Two passes in the hybrid-learning algorithm [11]

در مرحله بعد خروجی گره ها به لایه چهارم می رساند و پارامترهای نتیجه شده با تخمین حداقل مربعات بیان می شوند در حالیکه در مرحله قبل پارامترهای پیش فرض با روش گرادیان آبدیت می شدند.

اگر پارامترهای پیش فرض ثابت باشند، پارامترهای نتیجه شده که در مرحله بعد بدست می آیند بهینه هستند بنابراین روش یادگیری هیبریدی خیلی سریع تر از روش *back-propagation* است.

۱-۴-۲. نکات

برای افزایش عملکرد سیستم می توانیم از ترکیب چند الگوریتم تندترین- شیب و حداقل مربعات استفاده کنیم.

توصیه می شود الگوریتم های یادگیری ماشین روی توابع حقیقی صورت نگیرد. بلکه ابتدا آنها را به صورت عبارات فازی بیان کنیم و سپس از الگوریتم های یادگیری استفاده کنیم.
اگر تعداد دیتاهای یادگیری زیاد باشند ، توابع عضویت می توانند با دقت بسیار زیادی تنظیم شوند.

۱-۵-۲. محدودیت های ANFIS

- ۱ فقط سیستم های سوگنو درجه صفر و درجه یک را پشتیبانی می کند.
- ۲ همه توابع عضویت یا ترکیب خطی از هم می باشند و یا ثابتند.
- ۳ تعداد توابع عضویت باید با تعداد قواعد فازی برابر باشند.
- ۴ وزن هر قاعده فازی برابر واحد است.

۱-۶-۲. یادگیری ANFIS

ANFIS می تواند با الگوریتم یادگیری هیبریدی یاد بگیرند. پارامترهای پیش فرض که توابع عضویت را تعریف می کنند با استفاده از روش گرادیان تعیین می شوند و پارامترهای نتیجه شده یا به کار بردن روش حداقل مربعات تعیین می شوند .

ANFIS می تواند در MATLAB از GUI و یا یک command line مربوط به ANFIS در MATLAB به ANFIS Editor نام گرفته شود.

: با تایپ کردن *anfis edit* در command line نرم افزار MATLAB پنجره ANFIS Editor GUI باز می شود . شکل ۲.۴ صفحه ANFIS Editor را با شرح توابع آن نشان میدهد.

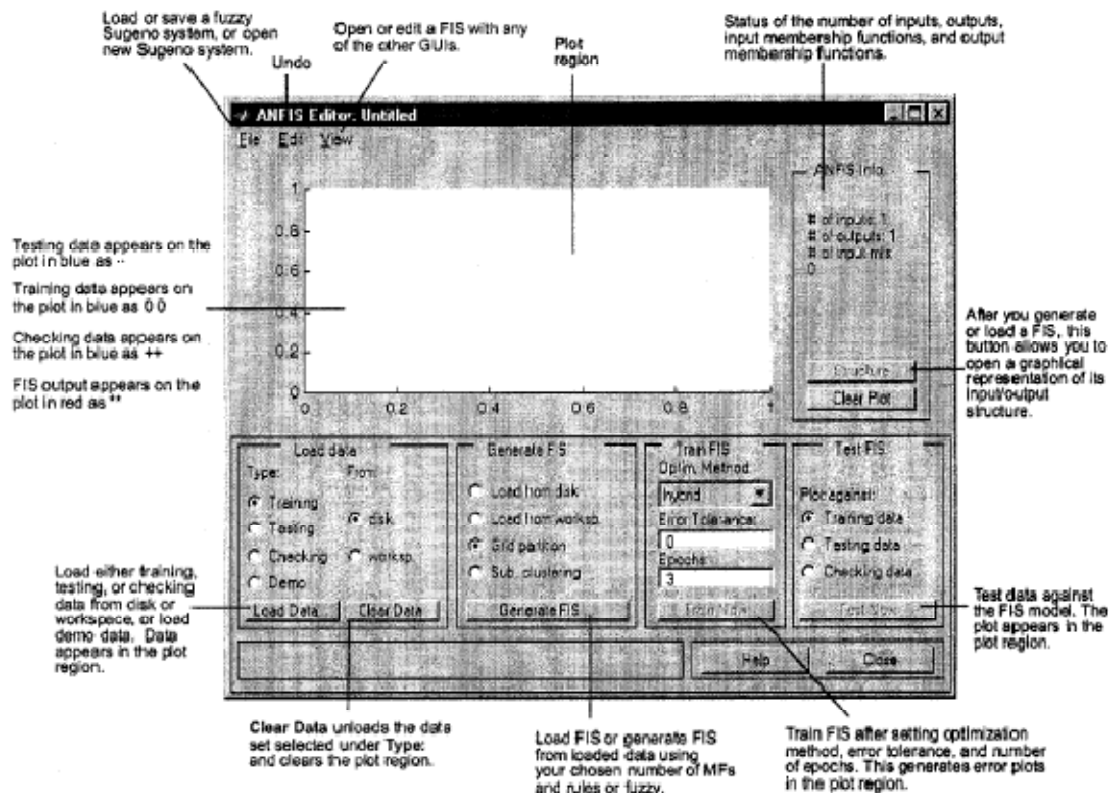


Figure 2.4. ANFIS editor GUI [9]

چهار قسمت اصلی دارد که عبارتند از :

Load Data - ۱

Generate FIS - ۲

Train FIS - ۳

Test FIS - ۴

با استفاده از *Traning date* و *Checking date* ، *Testing date* و یا ترکیبی از آنها را در برنامه *Load* کنیم. یکبار که هر کدام از دیتاهای یاد شده در برنامه *Load* شوند در « *Generate FIS* » « *Plot region* نمایش داده میشود. وقتی دیتاهای *Load* شدند می توان یک *FIS* بوسیله « *Generate FIS* » تولید کرد. در تولید *FIS* نوع و تعداد «توابع عضویت» قابل انتخاب است. ساختار *FIS* تولید شده با کلیک کردن روی دکمه «*Structure*» قابل مشاهده است که در شکل نشان داده شده است:

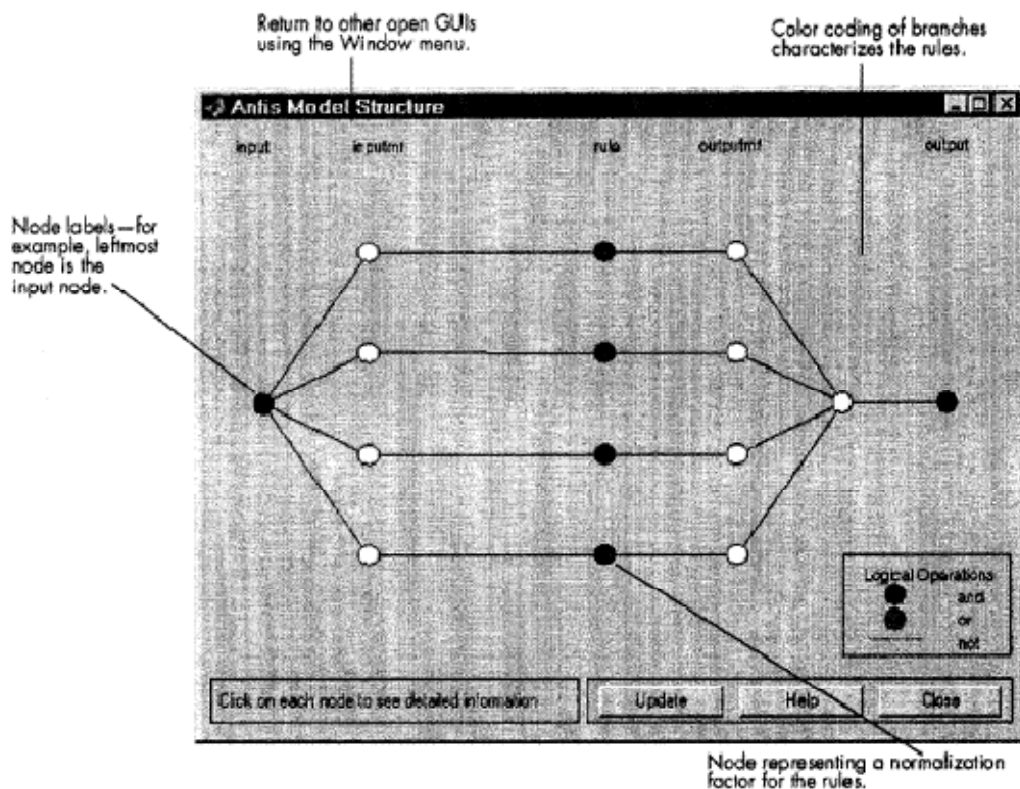


Figure 2.5. Generated FIS Structure [9]

وقتی **FIS** اولیه تولید شد، این **FIS** می تواند با هر کدام از الگوریتم های یادگیری *back-propagation* می تواند با هر کدام از الگوریتم های یادگیری *0/01* یا هیبریدی یاد بگیرید. از لحاظ تئوری تلورانس خطابرابر صفر است اما در عمل چیزی حدود ۰/۰۱ خواهد بود. خطای یادگیری در عمل بیشتر خواهد بود اما با افزایش توابع عضویت می توان عملکر سیستم بهتر و خطای یادگیری را کمتر کرد. هر وقت که یادگیری **FIS** تمام شد آن را در برابر امتحان می کنند تا میزان یادگیری **FIS** آزمایش شود.

فصل سوم

۳. طراحی کنترل کننده

کنترل کننده ها نقش حیاتی را در کنترل سرعت موتور DC به میزان دلخواه بازی می کنند. در فصل های قبل دو نوع کنترل کننده معرفی شد و عملکرد آنها ارزیابی شد یکی از آنها کنترل کننده PID و دیگری که یک کنترل کننده هوشمند بود به نام $ANFIS$ (Proportional - Integral - Derivative) که عملکرد آنها در گشتاور بارهای مختلف ارزیابی خواهد شد.

۳-۱. طراحی کنترل کننده PID

بسیاری از کنترل کننده هایی که در حال حاضر در صنعت هستند، از نوع PID می باشند. ورودی PID یک سیگنال خطأ (اختلاف بین سیگنال مرجع و سیگنال خروجی) می باشد. خروجی حاصل جمع سه جمله می باشد. جمله اول متناسب با سیگنال خطأ، جمله دوم متناسب با انتگرال سیگنال خطأ و جمله سوم متناسب با مشتق سیگنال خطأ می باشد.تابع تبدیل PID به صورت زیر بیان می شود.

$$u(t) = k_e(t) + k_i \int_0^t e(\tau) d\tau + k_d \frac{de}{dt} \quad (3.1)$$

که در آن :

K = بهره متناسب (KP)

Ki = بهره انتگرال

Kd = بهره مشتق

سیگنال خطأ = $e(t)$

معادله (3-1) را می توان به صورت زیر نوشت :

$$u(t) = k(e(t) + \frac{1}{T_i} \int_0^t e(\tau) d\tau + T_d \frac{de(t)}{dt}) \quad (3.2)$$

که در آن Ti بازه زمانی انتگرال گیری و Td بازه زمانی مشتق گیری می باشد. پارامترهای دو معادله 3.2 و 3.3 به صورت زیر به هم مربوط می شوند :

$$k = K \quad k_i = \frac{K}{T_i} \quad k_d = KT_d \quad (3.3)$$

۱-۱-۳. مشخصات کنترل کننده PID

کنترل کننده متناسب (PID) زمان خیز (*rise time*) سیستم را کاهش می دهد اما این کنترل کننده خطای حالت ماندگار را حذف نمی کند. کنترل کننده انتگرال گیر می تواند خطای حالت ماندگار را کاهش دهد اما اورشوت را افزایش می دهد. کنترل کننده مشتق گیر پایداری سیستم را افزایش می دهد و همچنین اورشوت را کاهش می دهد. عملکرد هر کدام از سه کنترل کننده فوق در جدول زیر خلاصه شده است :

Controller	Rise time	Overshoot	Settling time	Steady-state error
K _p	Decrease	Increase	Small Change	Decrease
K _i	Decrease	Increase	Increase	Eliminate
K _d	Small Change	Decrease	Decrease	Small Change

Table 3.1. Characteristics of each control parameters [14].

۱-۲-۳. تنظیم کردن PID

کنترل کننده PID به چند روش می تواند تنظیم شود. به غیر از روش های عمومی که برای تنظیم PID به کار می رود. چند روش خاص وجود دارد که توسط « زیگلر » و « نیکول » معرفی شدند که با تعداد پارامتر کم و معادلات آسان در ارتباط است. یکی از روش ها بر پاسخ شیب پایه گذاری شده است. روش دیگر روش پاسخ فرکانسی است. کنترل کننده PID که در این پایان نامه بحث شده با روش پاسخ فرکانسی طراحی شده است. این روش بر پیدا کردن نقطه تلاقی نمودار نایکوئیست با قسمت منفی محور حقیقی مبتنی است.

پارامترهای K_u (بهره نهایی) و T_u (پریود نهایی) از روی نمودار نایکوئیست تعیین می شوند. جدول 2.3 جهت تعیین پارامترهای PID به ما کمک می کند. یکبار که پارامترهای D, I, P تعیین شدند این پارامترها بوسیله روش آزمایش و خطا به گونه ای تنظیم می شوند که خروجی مطلوب بدست آید.

Controller	K	Ti	Td
P	0.5Ku		
PI	0.4Ku	0.8Tu	
PID	0.6Ku	0.5Tu	0.125Tu

Table 3.2. Controller parameters using Ziegler-Nichols frequency method [15]

۳-۱-۳. کنترل کننده سرعت PID

خطای بین سیگنال مرجع و خروجی واقعی به ورودی کنترل کننده سرعت داده می شود. یک ورودی شبیب بین 20° تا 400° به عنوان مرجع به سیستم داده می شود. شکل 3.1 : دیاگرام یک کنترل کننده سرعت را که در سیمولینک کشیده شده نشان می دهد.

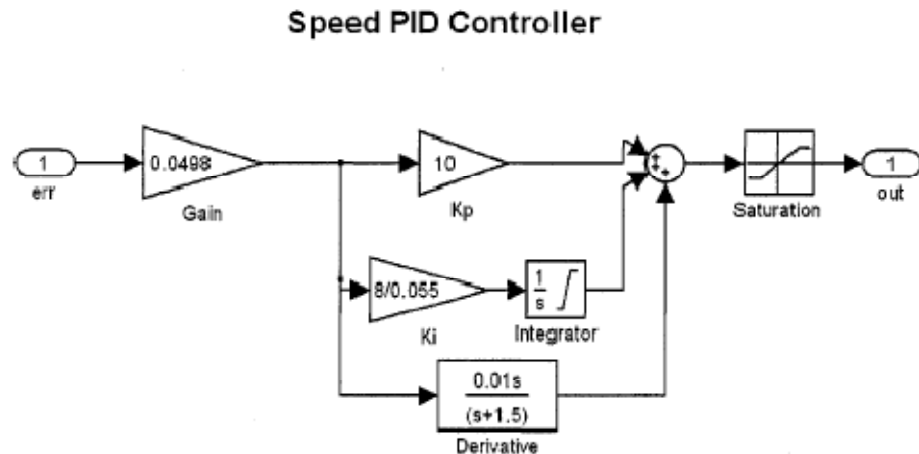


Figure 3.1. Speed PID controller

در زیر پارامترهای تنظیم شده کنترل کننده سرعت نشان داده است. مقدار اشباع روی ۵٪ تنظیم شده است

$$K_p = 0.498$$

$$K_i = 7.24$$

$$K_d = 0.000488$$

این کنترل کننده به گونه ای طراحی می شود که خروجی آن به عنوان سیگنال مرجع برای کنترل کننده جریان PID باشد.

۴-۱-۳. کنترل کننده جریان PID

ورودی کنترل کننده جریان **PID** یک سیگنال خطای خطا است. این سیگنال خطای اختلاف بین جریان مرجع (که از خروجی کنترل کننده سرعت گرفته می‌شود) و جریان واقعی (که همان جریان مصرفی موتور است) می‌باشد. مقدار اشباع روی I ± تنظیم شده است. در زیر پارامترهای P , I , D از کنترل کننده جریان **PID** نشان داده شده است.

$$K_p = 0.04$$

$$K_i = 0.366$$

$$K_d = 0.000412$$

شکل زیر یک کنترل کننده جریان **PID** را نشان می‌دهد.

Current PID Controller

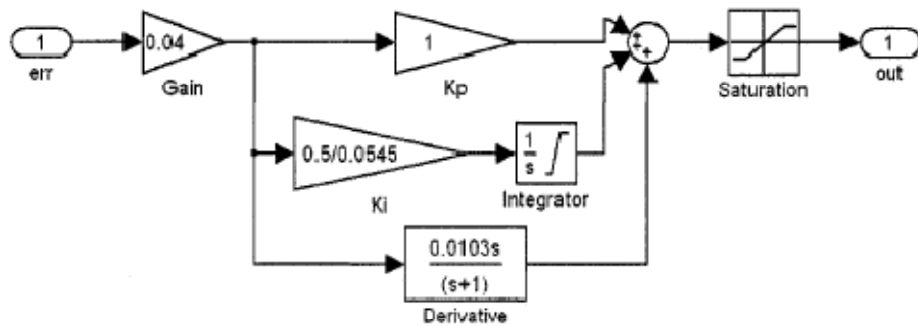


Figure 3.2. Current PID controller

خروجی کنترل کننده جریان **PID** به یک مبدل توان داده می‌شود که برای مدوله کردن پهنهای پالس ولتاژ در کنترل کننده توان استفاده می‌شود. خروجی کنترل کننده توان متوسط به عنوان تغذیه به موتور **DC** داده می‌شود.

۴-۲-۳. طراحی کنترل کننده ANFIS

همانطور که در فصل ۲ بحث شد دیتاهای آموزشی (*Traning date*) برای طراحی **ANFIS** حتماً نیاز است. دیتاهای چک کننده (*Checking date*) نیز برای چک کردن سیستم از لحاظ اینکه یادگیری سیستم درست صورت گرفته یا نه مورد نیاز می‌باشند. دو نوع کنترل کننده **ANFIS** در این فصل طراحی می‌شوند. یکی برای کنترل سرعت و دیگری برای کنترل جریان. شبیه سازی موتور **DC** به همراه کنترل کننده **PID** برای تولید دیتاهای آموزش استفاده می‌شود. دیتاهای آموزشی اینجا چیزی جز ورودی‌ها و خروجی‌های کنترل کننده **PID** نیست.

در مرحله اول **FIS** مربوط به سرعت با استفاده از دیتاهای آموزشی جمع آوری شده از کنترل کننده **PID** ساخته می شود . قسمتی از دیتاهای آموزشی به عنوان دیتاهای چک کننده کنار گذاشته می شود تا بعد از پایان یادگیری کنترل کننده ، توسط آنها یادگیری کنترل کننده چک شود.

شکل 3.3 ، پنجره یک **ANFIS Editor** را نشان می دهد که در آن دیتاهای آموزشی و دیتاهای چک کننده نمایش داده شده است.

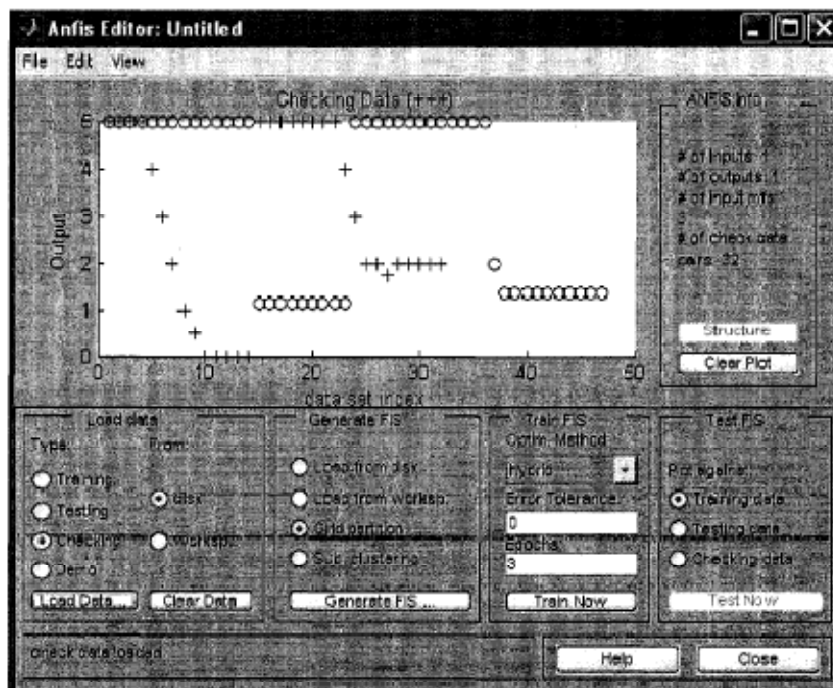


Figure 3.3. ANFIS GUI after training and checking data is loaded.

دیتاهای آموزشی و چک کننده در یک فایل دیتا ذخیره می شوند.

با تایپ کردن **anfis edit** در **MATLAB command** باز **ANFIS Editor** پنجره **Load** میشود. دیتاهای آموزشی و چک کننده با **Load** کردن فایل مربوطه در برنامه **load** می شوند. یکبار که دیتاهایا در برنامه **Load** شدند، **GUI** ظاهر میشود، همانطور که در شکل دیده می شود.

سمبل «**O**» معرف دیتاهای آموزش و سمبل «**+**» معرف دیتاهای چک کننده می باشند. **FIS** اولیه با کلیک کردن روی «**Generate FIS**» در حالی که تنظیمات روی حالت پیش فرض «**Grid partition**» است، ساخته می شود . با این کار پنجره ای شبیه شکل ۳.۴ باز می شود:

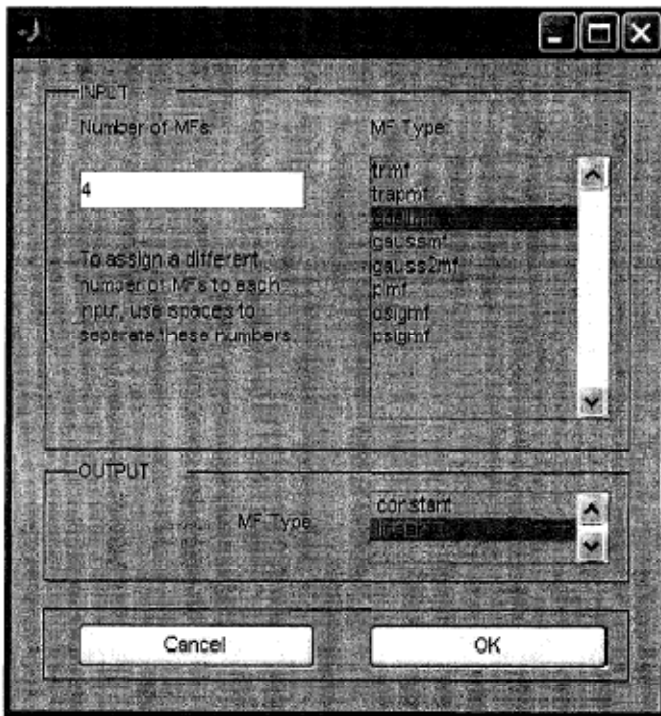


Figure 3.4. GUI showing selection of I/O membership functions

ملاحظه می شود که توابع عضویت **MF** (Membership Function) روی گزینه *gbellmf* و تعداد توابع عضویت روی 4 انتخاب شده است. همانطور که در شکل فوق دیده می شود برای توابع عضویت خروجی دو انتخاب وجود دارد.

توابع عضویت یا می توانند ثابت انتخاب شوند یا خطی . همان چیزی که یک **FIS** از نوع سوگنو احتیاج دارد.

وقتی یک **FIS** ساخته می شود آماده هستیم تا بوسیله دیتاهای آموزشی آن را تحت آموزش قرار دهیم. در اینجا ما تلورانس را روی *0/01* تنظیم می کنیم. تعداد تکرار لازم از روی (*epoch*) معلوم می شود. تعداد تکرار پیش فرض 3 می باشد که برای یادگیری مناسب نیست بنابراین تعداد تکرار به صورت رندوم روی 50 تنظیم می شود . اکنون سیستم آماده یادگیری با استفاده از الگوریتم یادگیری هیبریدی است. با کلیک کردن روی دکمه «*Train now*» ، **FIS** شروع به یادگرفتن می کند . اضافه کردن توابع عضویت بیشتر عملکرد **FIS** تولید شده را بهبود می بخشد.

عملکرد **FIS** در برابر دیتاها چک کننده تست می شود . تصویر زیر نتایج را بعد از اینکه تست انجام شد نشان می دهد:

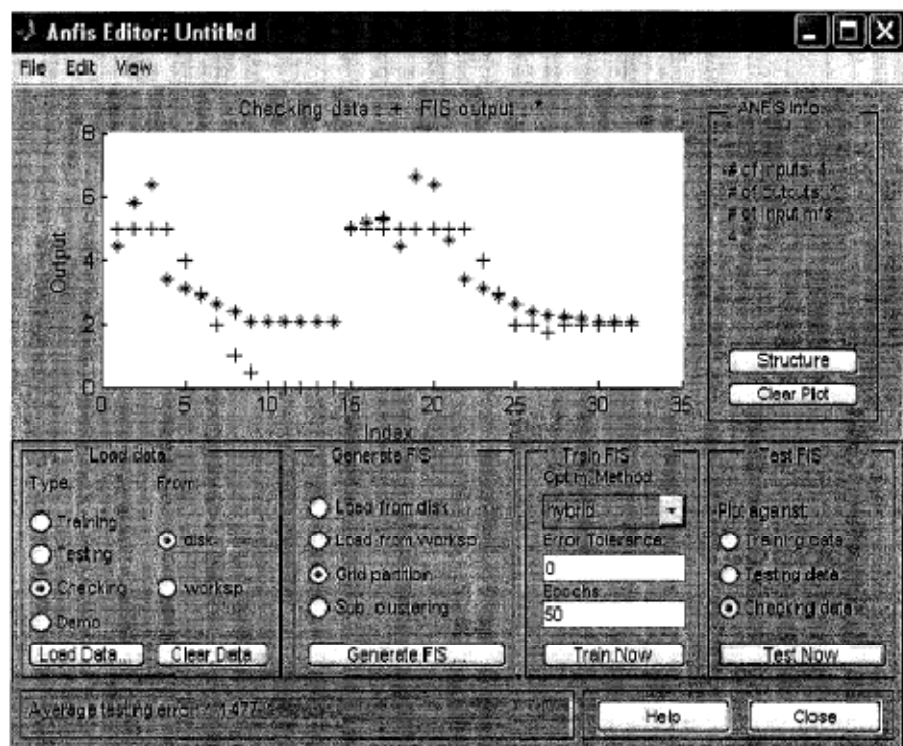


Figure 3.5. Screen after testing the FIS is done.

خروجی با سمبل «*» و ورودی با سمبل «+» نشان داده شده است. ساختار *FIS* تولید شده در شکل زیر نشان داده شده است.

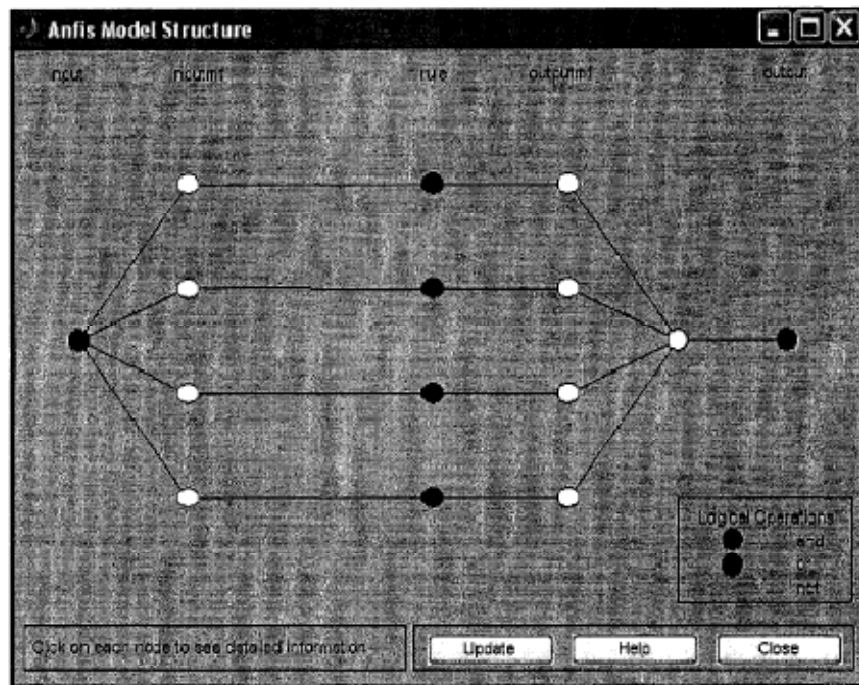


Figure 3.6. Structure of the generated FIS for speed controller.

به همین نحو *FIS* مربوط به جریان نیز ساخته می شود.

به وسیله *fuzzy block* در *simulink liberry* یک مدل برای کنترل کننده *ANFIS* برای موتور *DC* طراحی می شود . در شکل زیر بعضی از بلوکها نوشته شده *Gain* که این ها بلوکها بهره می باشند. بهره ها طوری تنظیم می شوند که خروجی مناسب تولید شود.

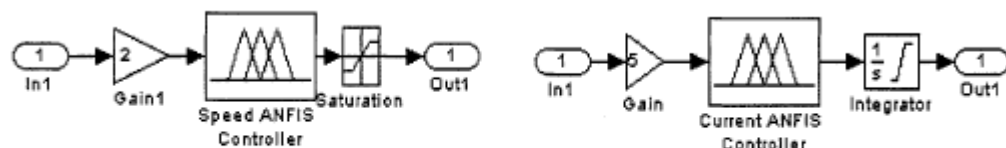


Figure 3.7. Speed and Current ANFIS controllers

بلوک دیاگرام مربوط به *ANFIS* شبیه به بلوک دیاگرام *PID* است با این تفاوت که در آن *PID* مربوط به سرعت و جریان به ترتیب با *ANFIS* مربوط به سرعت و جریان جایگزین شده اند. برای هر کدام از *ANFIS* های مربوط به جریان و سرعت ورودی سیستم یک سیگنال خطاست که اختلاف بین سیگنال مرجع و سیگنال خروجی می باشد . بلوک دیاگرام های *ANFIS* سرعت و *ANFIS* جریان در شکل (3.7) نشان داده شده است.

فصل چهارم

۴. شبیه سازی

وقتی کنترل کننده های سرعت و جریان طراحی شدند و موتور DC در سیمولینک شبیه سازی شد ، سیستم برای شبیه سازی آماده شده است. سرعت مرجع به صورت یک ورودی شبیه به سیستم داده میشود که در آن شبیه به صورت $t = 0 \text{ sec}$ در 200 rad/sec و $t = 5 \text{ sec}$ در 400 rad/sec تغییر می کند. پارامترهای موتور DC که قبلاً در یک m-file (فایل های مربوط به MATLAB) ذخیره شده قبل از شبیه سازی Load شده و اجرا می شود. این فصل نتایج شبیه سازی کنترل کننده PID و ANFIS را بررسی می کند . نتایج شبیه سازی هر دو کنترل کننده برای گشتاور بارهای مختلف مقایسه و ارزیابی می شود.

۴-۱. شبیه سازی PID

کنترل کننده PID سرعت و PID جریان که در فصل سوم طراحی شدند در این فصل شبیه سازی می شوند. شکل زیر مدل سمبولیک کنترل کننده PID را نشان می دهد.

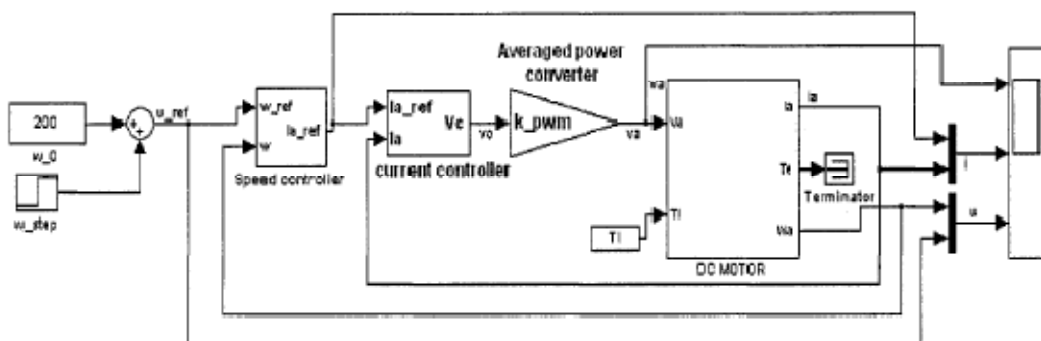


Figure 4.1. Simulation model

نتایج شبیه سازی کنترل کننده PID در شکل ۲.۴ نشان داده شده است . در این شکل نمودار اول تغییرات ولتاژ ورودی را نشان می دهد . نمودار دوم مربوط به تغییرات جریان و نمودار سوم تغییرات سرعت را نشان میدهد.

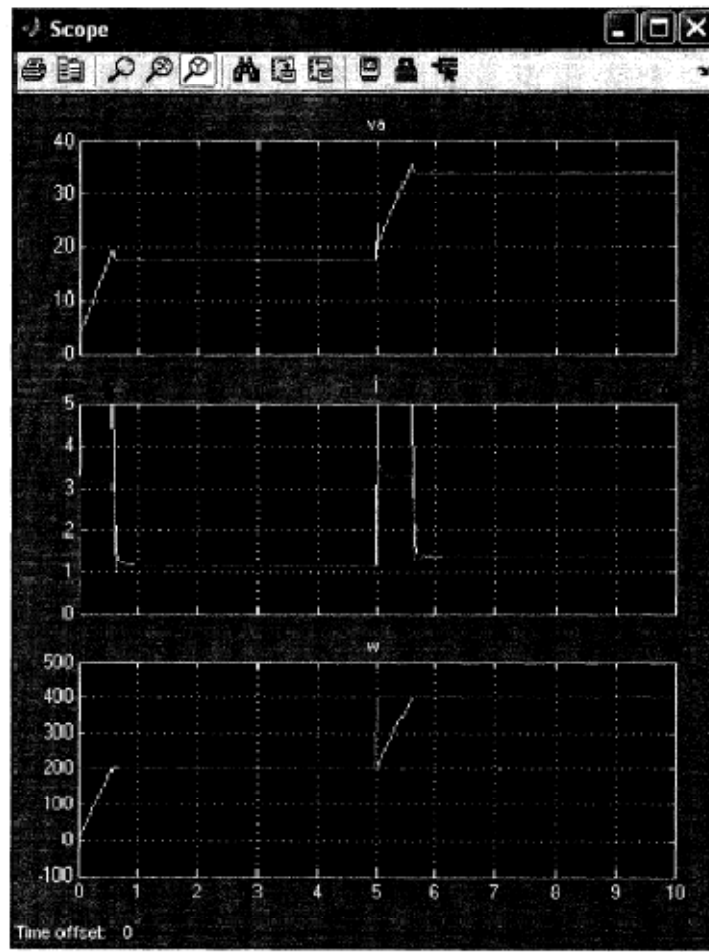


Figure 4.2. Simulation results of using speed and current PID controllers.

جدول ۴.۱ آنالیز تغییر فاکتورهای کنترلی در کنترل کننده موتور DC از نوع PID را نشان می دهد.

۴-۲. شبیه سازی ANFIS

موضوع این بحث شبیه سازی کنترل کننده موتور DC از نوع ANFIS می باشد. مدل سمبولیک کنترل کننده ANFIS شبیه شکل ۴.۱ است که در آن کنترل کننده های PID جای خود را به کنترل کننده ANFIS داده اند.

Factor	Value
Rise time	0.6 sec
Overshoot when speed = 200 rad/sec	203
Settling time	0.9 sec
Steady state error	0

Table 4.1. PID controller analysis

نتایج استفاده از کنترل کننده *ANFIS* در شکل ۴.۲ نشان داده شده است.
جدول ۴.۲ فاکتورهای کنترلی ناشی از شبیه سازی کنترلر *ANFIS* را نشان می دهد.

Factor	Value
Rise time	0.4 sec
Overshoot when speed = 200 rad/sec	203
Settling time	0.48 sec
Steady state error	~1.5 rad/sec

Table 4.2. ANFIS controller analysis

شکل ۴.۳ نتایج شبیه سازی کنترل کننده سرعت و جریان ازنوع *ANFIS* را نشان می دهد.

۴-۱-۱. مقایسه کنترل کننده های *PID* و *ANFIS* در گشتاور بار ثابت

عملکرد کنترل کننده های *PID* و *ANFIS* در گشتاور بارهای مختلف در جدول های ۴.۱ و ۴.۲ مورد بررسی قرار گرفت. چیزی که از مشاهده این جداول بدست می آید این است که کنترلر *ANFIS* نتایج بهتری نسبت به *PID* داشته است. با وجود اینکه خطای حالت ماندگار *PID* از *ANFIS* کمتر است ولی روی هم رفته *ANFIS* نسبت به *PID* عملکرد خیلی بهتری دارد.

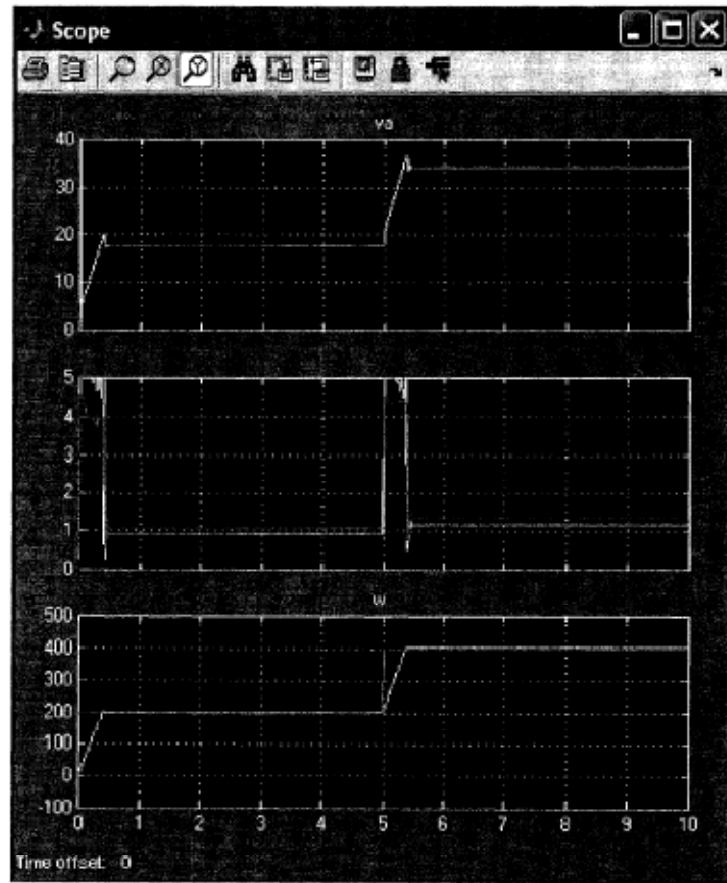


Figure 4.3. Results of using an ANFIS controller.

۴-۲-۲. مقایسه کنند های PID و ANFIS در گشتاور بارهای مختلف

در این قسمت عملکرد کنند های PID و ANFIS در گشتاور بارهای مختلف بررسی می شود.

برای این کار ما سه حالت را بررسی می کنیم:

وقتی گشتاور بار $N\cdot m$ باشد:

شکل 4.4 نتایج شبیه سازی استفاده از کننده PID و ANFIS را وقتی گشتاور با $0.1 N\cdot m$ است

نشان می دهد. جدول 4.3 نیز عملکرد هر دو کنترلر را در گشتاور $0.1 N\cdot m$ بررسی کرده است.

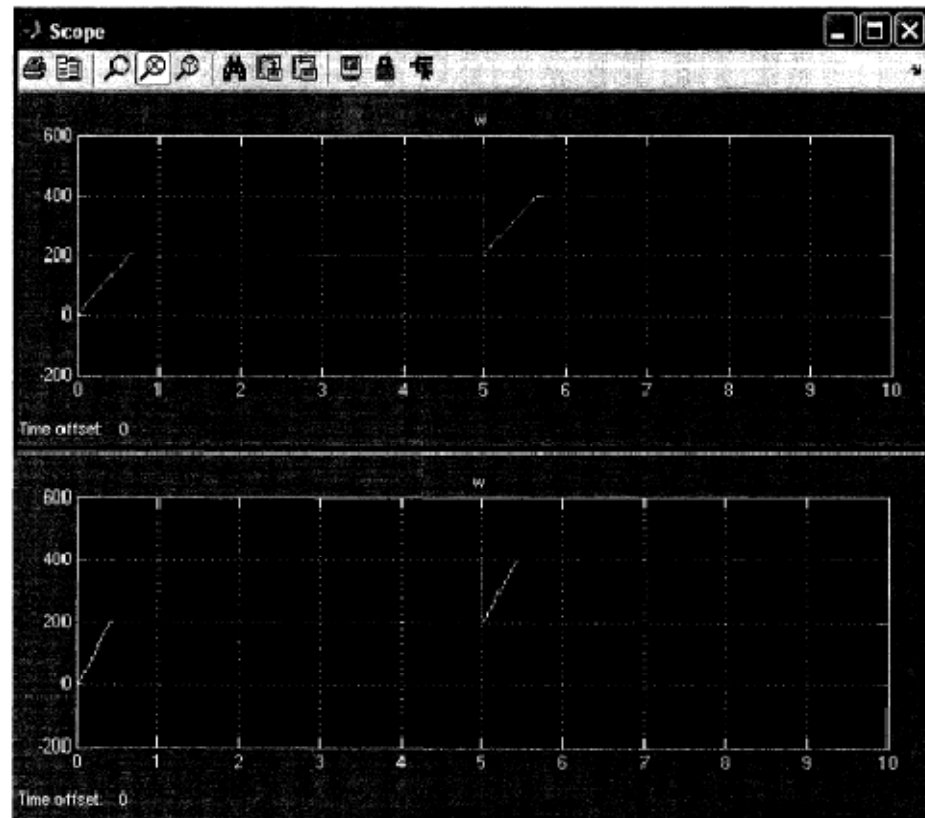


Figure 4.4. Speed variations with PID and ANFIS controllers when torque load is 0.1

Factor	PID	ANFIS
Rise time	0.65 sec	0.45 sec
Overshoot @	203	202.5
Settling time	1 sec	0.45 sec
Steady state error	0	~1 rad/sec

Table 4.3. Analysis of PID and ANFIS controllers at $T_L=0.1\text{N}\cdot\text{m}$.

وقتی گشتاور بار $2\text{ N}\cdot\text{m}$ باشد ،

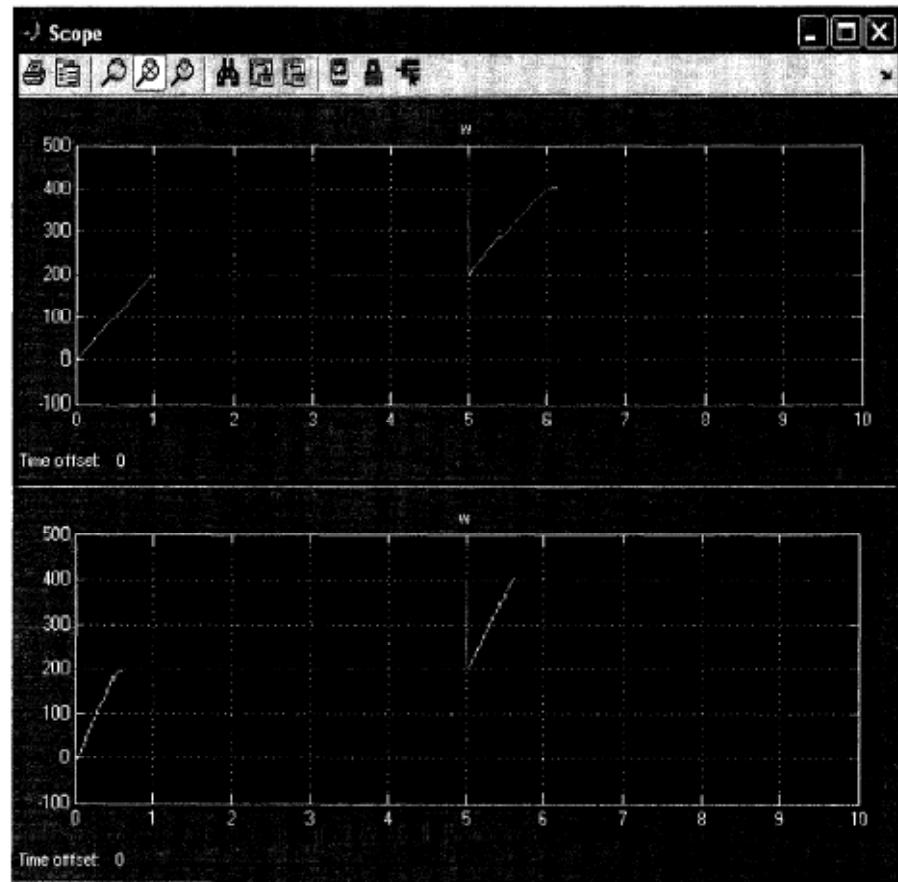


Figure 4.5. Speed variations with PID and ANFIS controllers when torque load is 0.2

Factor	PID	ANFIS
Rise time	1 sec	0.5 sec
Overshoot/ Undershoot	Overshoot at 201	Undershoot at 199
Settling time	1.5 sec	0.65 sec
Steady state error	0	~ 0.5 rad/sec

Table 4.4. Analysis of PID and ANFIS controllers at $T_L=0.2\text{N}\cdot\text{m}$.

شکل 4.5 نتایج شبیه سازی استفاده از کنترل کننده **PID** و **ANFIS** را وقتی گشتاور با $\frac{1}{2} N\cdot m$ است نشان می دهد. همچنین جدول 4.4 عملکرد هر دو کنترل کننده **PID** و **ANFIS** را بررسی کرده است.

وقتی گشتاور بار $3^{\circ}\cdot 0$ باشد؛

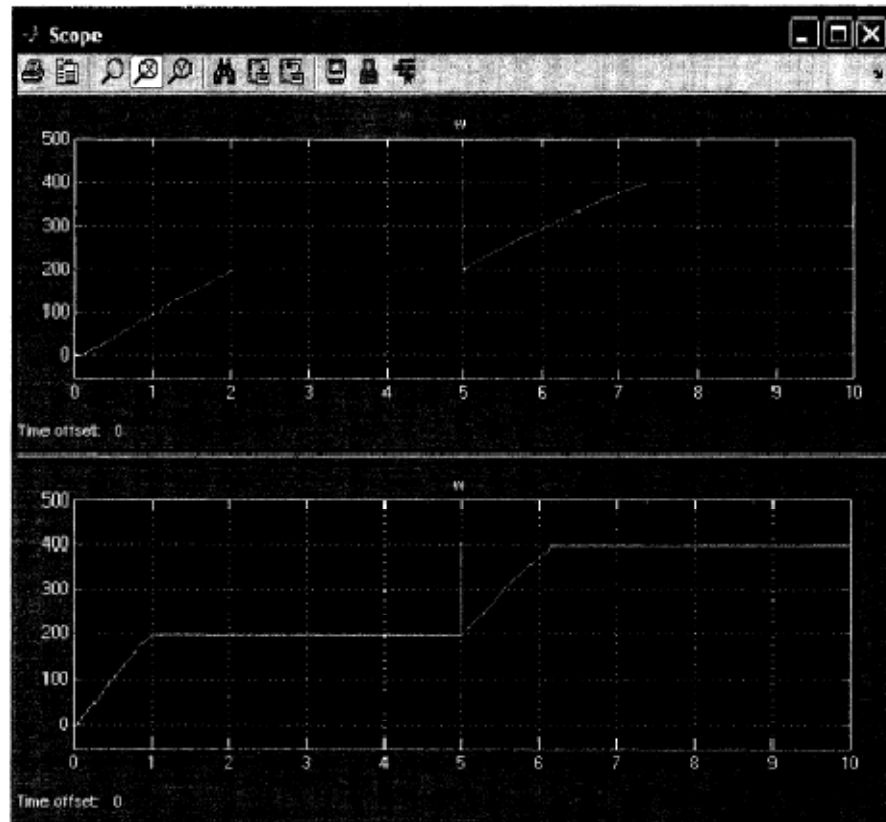


Figure 4.6. Speed variations with PID and ANFIS controllers when torque load is 0.3N-m.

Factor	PID	ANFIS
Rise time	2 sec	1 sec
Overshoot/ Undershoot	-	Undershoot at 197
Settling time	2 sec	1 sec
Steady state error	0	~ 2 rad/sec

Table 4.5. Analysis of PID and ANFIS controllers at $T_L=0.3\text{N}\cdot\text{m}$.

نتایج شبیه سازی استفاده از کنترل کننده **PID** و **ANFIS** وقتی گشتاور بار $0.3\text{N}\cdot\text{m}$ باشد. در شکل 4.6 نشان داده شده است. همچنین جدول 4.5 عملکرد هردو کنترل کننده را وقتی گشتاور بار $0.3\text{N}\cdot\text{m}$ اعمال شده بررسی کرده است.

عملکرد کنترل کننده **PID** و **ANFIS** در گشتاور بارهای مختلف با استفاده از جداول 4.3 و 4.5 قابل ارزیابی است.

اگر از لحاظ خطای حالت ماندگار (*Stady state error*) دو کنترلر را بررسی کنیم. **PID** عملکرد بهتری نسبت به **ANFIS** دارد. خطای حالت ماندگار برای **PID** در گشتاورهای بار مختلف برابر صفر است در

حالی که این برای ANFIS یک عدد کوچک است. اگر از لحاظ اورشوت و آندرشوت دو کنترلر را بررسی کنیم ملاحظه می شود تفاوت چندانی در رفتار کنترلر ANFIS و PID وجود ندارد. ازنظر فاکتورهای دیگر کنترلی نظیر زمان خیز (rise time) و زمان نزول (settling time) ANFIS عملکرد بهتری نسبت به PID دارد.

۴-۳. عملکرد کنترلهای PID و ANFIS در گشتاورهای بار آشفته

در این قسمت عملکرد دو کنترلر PID و ANFIS در گشتاور بارآشفته یعنی گشتاور بار با تغییرات ناگهانی (پارازیتی) مورد بررسی قرار می گیرد.

برای این کار دو گشتاور بار، یکی $N \cdot m = 0.4$ در $t = 2 \text{ sec}$ و دیگری $N \cdot m = 0.3$ در $t = 7.5 \text{ sec}$ را در نظر می گیریم. شکل 4.7 مدل سمبلیک سیستم قبل از اعمال گشتاور آشفته را نشان می دهد که سیستم تحت گشتاور بار ثابتی می باشد.

برای اینکه گشتاور بار با تغییر ناگهانی را مدل سازی کنیم از بلوک singnal Builder در کتابخانه سمبلیک استفاده می کنیم بطوریکه singnal Builder دو سیگنال گشتاور بار $N \cdot m = 0.4$ در $t = 2 \text{ sec}$ و $N \cdot m = 0.3$ در $t = 7.5 \text{ sec}$ را به گشتاور بار سیستم اضافه می کند. دیاگرام سمبلیک با اضافه شدن singnal Builder در شکل 4.7 نشان داده شده است.

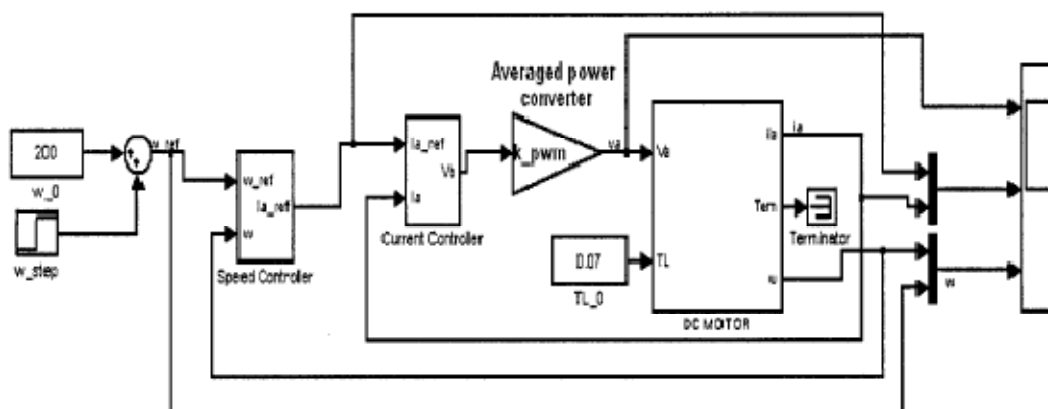


Figure 4.7. Simulink diagram

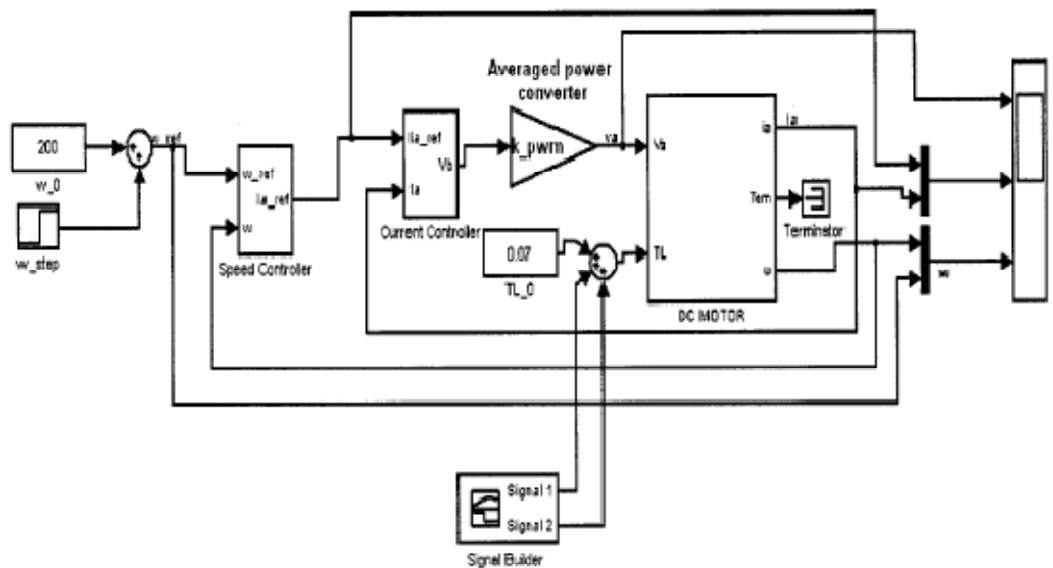


Figure 4.8. Simulink diagram with a signal builder

همانطور که شکل 4.8 نشان می دهد دو سیگنال از *signal Builder* به گشتاور بار اضافه می شوند که در واقع یک ورودی ثانوی به موتور *DC* در حال کار می دهد.

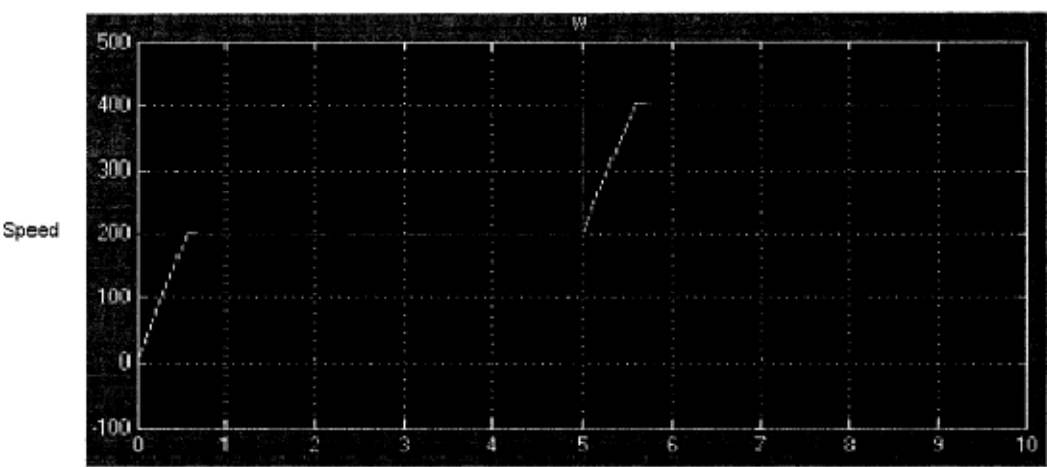


Figure 4.9. Speed response of PID controllers without load disturbances.

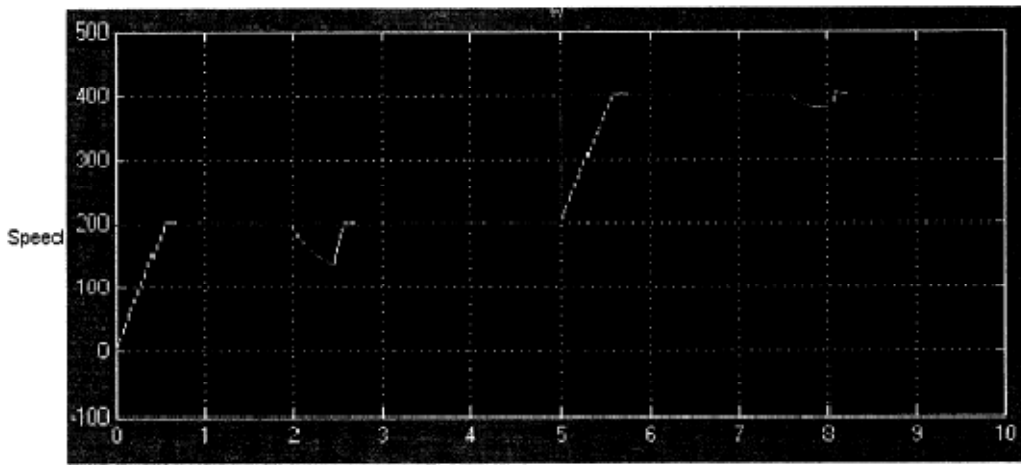


Figure 4.10. Speed response of PID controllers with load disturbances.

تغییرات سرعت در کنترل کننده **PID** باز بدون گشتاور آشفته به ترتیب در شکل های 4.10 و 4.9 نشان داده شده است. در واقع شکل 4.9 تغییرات سرعت بدون **singnal Builder** و شکل 4.10 تغییرات سرعت با **singnal Builder** را نشان می دهد. در سیستم **singnal Builder** در واقع در مرحله اول گشتاور $0.4 \text{ N}\cdot\text{m}$ در 2 ثانیه به گشتاور بار اضافه می شود و در مرحله دوم گشتاور $0.3 \text{ N}\cdot\text{m}$ در 0.3 ثانیه به گشتاور بار اضافه می شود.

تغییرات سرعت در کنترل کننده **ANFIS** باز بدون گشتاور آشفته به ترتیب در شکل های 4.12 و 4.11 نشان داده شده است.

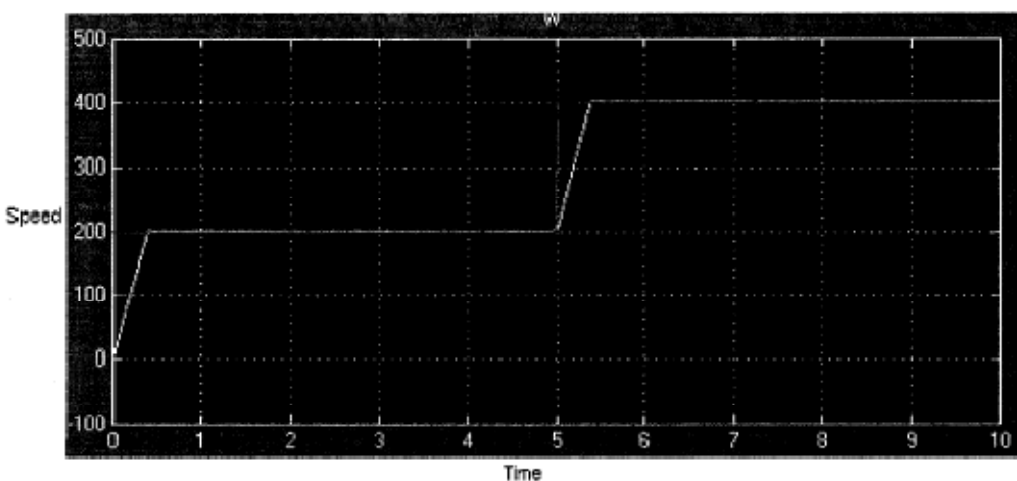


Figure 4.11. Speed response of ANFIS controllers without load disturbances

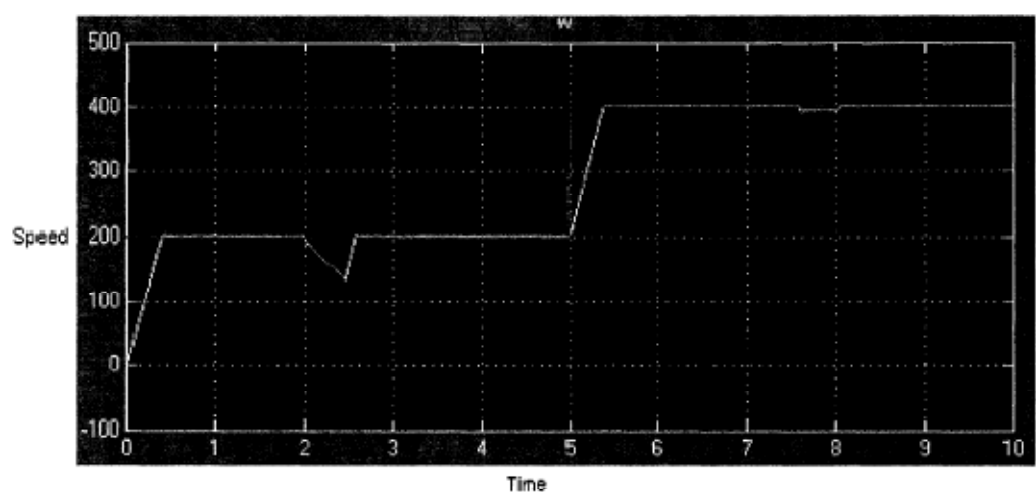


Figure 4.12. Speed response of ANFIS controllers with load disturbances

با مشاهده شکل های 4.10 و 4.12 ملاحظه می شود که برای گشتاور بار $0.4 \text{ N}\cdot\text{m}$ رفتار دو کنترل کننده **ANFIS** و **PID** شبیه به هم می باشند ولی برای گشتاور بار $0.3 \text{ N}\cdot\text{m}$ **ANFIS** عملکرد بهتری دارد.

۵. اجرای سیستم در زمان واقعی (real-time)

مدل سیمولینک کنترل کننده سرعت و جریان از نوع *ANFIS* در زمان واقعی در شکل زیر نشان داده شده است

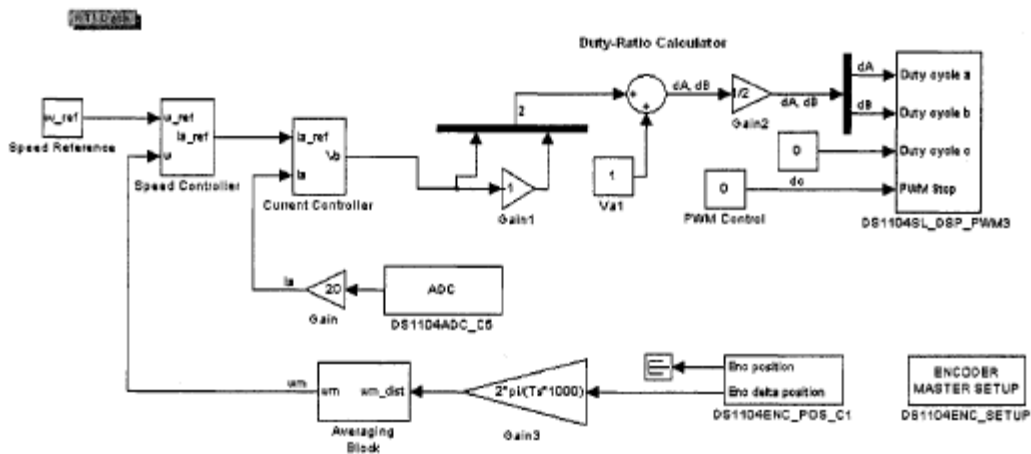


Figure 5.1. Real-time simulink model

کنترل کننده های سرعت و جریان موجود در این شکل همانند چیزی است که در فصل های قبل در مورد آنها بحث شد.

کتابخانه ای به نام *dsPACE RTI 1104* دارد که این کتابخانه شامل مجموعه ای از بلوکهای شبیه سازی می باشد. این بلوکها برای ساختن مدل شبیه سازی در زمان واقعی به کار می رود. بلوکهای *DS1104 – DSP – PWM3*) Pulse width modulator و Duty ratio calculator در مدل سیمولینک می شوند. بلوک *Duty ratio calculator* کمک می کند تا از ولتاژ متوسط بگیریم قبل از اینکه ولتاژ را مستقیماً به موتور بدهیم.

فرکانس کاری (dead band) آن روی صفر تنظیم شده است. این بلوک مسئول فرستادن پالس به *Lab_Kit DC motor* می باشد.

در سیمولینک از فرمول های زیر ساخته می شود:

$$V_{control,A} = -V_{control,B} = V_{motor}/V_d, \text{ where } V_d \text{ is Bus voltage} = 1.$$

$$d_A = 1/2(V_{control,A} + 1)$$

$$d_B = 1/2(V_{control,B} + 1).$$

دیاگرام **Duty ratio calculator** در سیمولینک که موازی با **PWM** قرار دارد در شکل زیر نشان داده شده است.

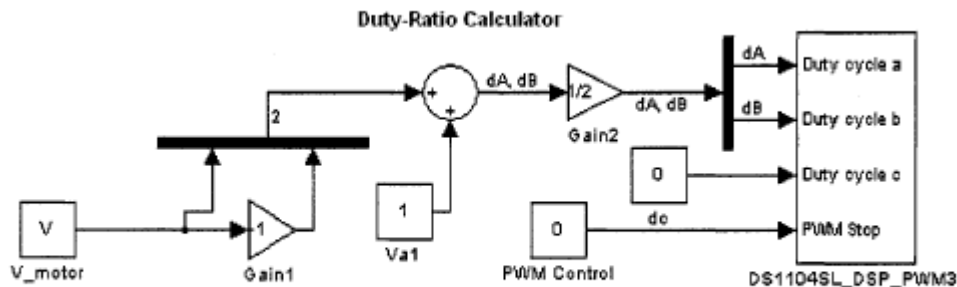


Figure 5.2. Simulink diagram of duty ratio calculator along with

بلوک **(DS 1104 ENC – SETUP) Encoder Master setup** برای محاسبه سرعت و موقعیت موتور استفاده میشود . سرعت با استفاده از بلوک **DS 1104 ENC- POS – CI** بر حسب **RPM** اندازه گیری م شود . اما سرعت باید بر حسب **dsPACE Rad/sec** باشد تا توسط **dsPACE** قابل خواندن به طور صحیح باشد . بنابراین باید خروجی **DS 1104 ENC- POS – CI** را به یک بلوک مثلثی شکل بهره (**Gain**) وصل کرد که بهره آن برابر $T_s = \frac{1}{2\pi}$ می باشد و در آن **Ts** زمان نمونه برداری است.

بلوک **averaging block** با تأخیرهایی که ایجاد می کند از نویزی شدن سیگنال سرعت جلوگیری می کند . در واقع اگر مقدار سرعتی که به این بلوک داده می شود در اثر نویز تغییر کند این بلوک با تأخیری که ایجاد می کند متوسط موج را می گیرد (موج $\text{متوسط} = \frac{1}{T} \int_0^T v(t) dt$ که در آن **T** زمان تاخیر است) و به خروجی می برد . یک **averaging block** دوازده تاخیری طراحی شده و به عنوان زیر سیستم به مدل اضافه شده است . (به شکل 5.1 نگاه شود).

زمان نمونه برداری واحد تاخیری روی **1**- تنظیم شده است . کمک می کند تا نویز را کاهش دهیم . استفاده از این بلوک در بسیاری از کاربردهای زمان واقعی بسیار معمول است . دلیل کم شدن نویز به واسطه **averaging block** این است که مقدار متوسط نویز همواره صفر است . بنابراین اگر موج نویزی شده را به صورت موج اصلی بدون نویز به اضافه موج نویز در نظر بگیریم با عمل متوسط گیری نویز حذف می شود .

طراحی شده در سیمولینک در شکل زیر نشان داده شده است :

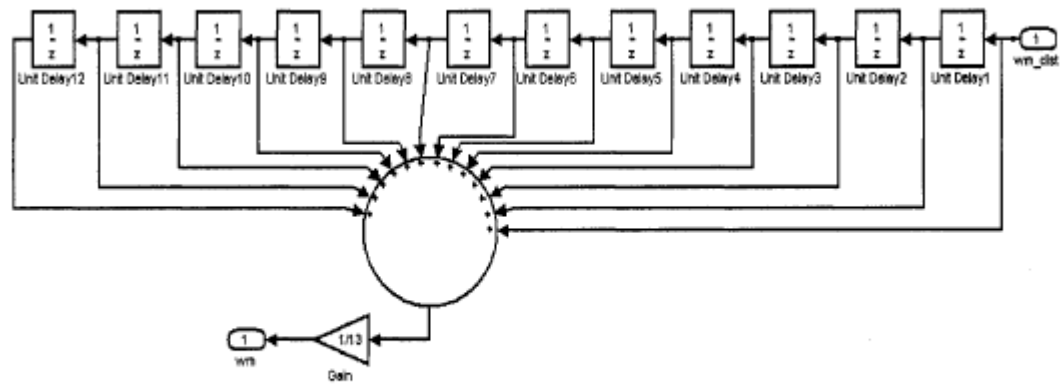


Figure 5.3. Averaging block model in simulink

بلوک DS 1104 ADC-C5 برای تبدیل آنالوگ به دیجیتال استفاده می شود. این بلوک برای گرفتن مقدار جریان واقعی از موتور استفاده می شود. مقدار جریانی که گرفته می شود به وسیله بلوک Gain قبل از دادن آن به کنترل کننده جریان تغییر اندازه داده می شود. نسبت تبدیل 10:1 می باشد. یک ورودی شیب به عنوان سرعت مرجع به سیستم داده می شود که در آن شیب از صفر تا ۲۰۰ در sec⁻¹ در t=۰ sec و از ۲۰۰ تا ۴۰۰ در t=۱۵ sec تغییر می کند. زمان بین صفر تا بینهایت تنظیم می شود.

سرعت مرجع با یک سیگنال شیب- ثابت در عوض شیب- متغیر به سیستم داده می شود. یکبار که مدل ساخته شد، برای اجرا آماده می شود.

شبیه سازی مدل سیمولینک در زمان واقعی چیزی شبیه شکل 5.4 است. زمان نمونه برداری روی 0.0001sec تنظیم شده است.

مراحل ساختن مدل زمان واقعی به صورت زیر است :
Tools → Real – Time work shop → Build model

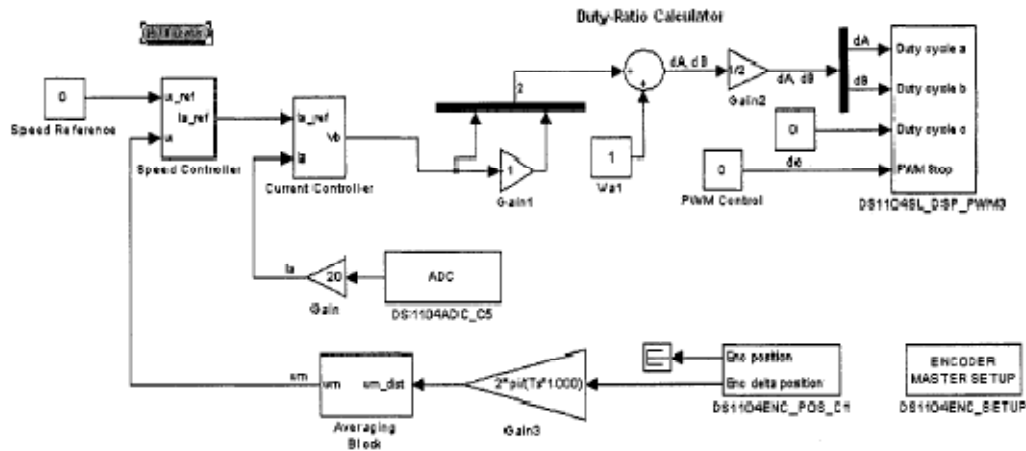


Figure 5.4. Real-time simulink model

وقتی که کار ساخته شدن مدل در زمان واقعی تمام شد ، تأییدیه با موفقیت تمام شدن کار در شکل زیر تأییدیه ساخته شدن زمان واقعی را نشان می دهد .

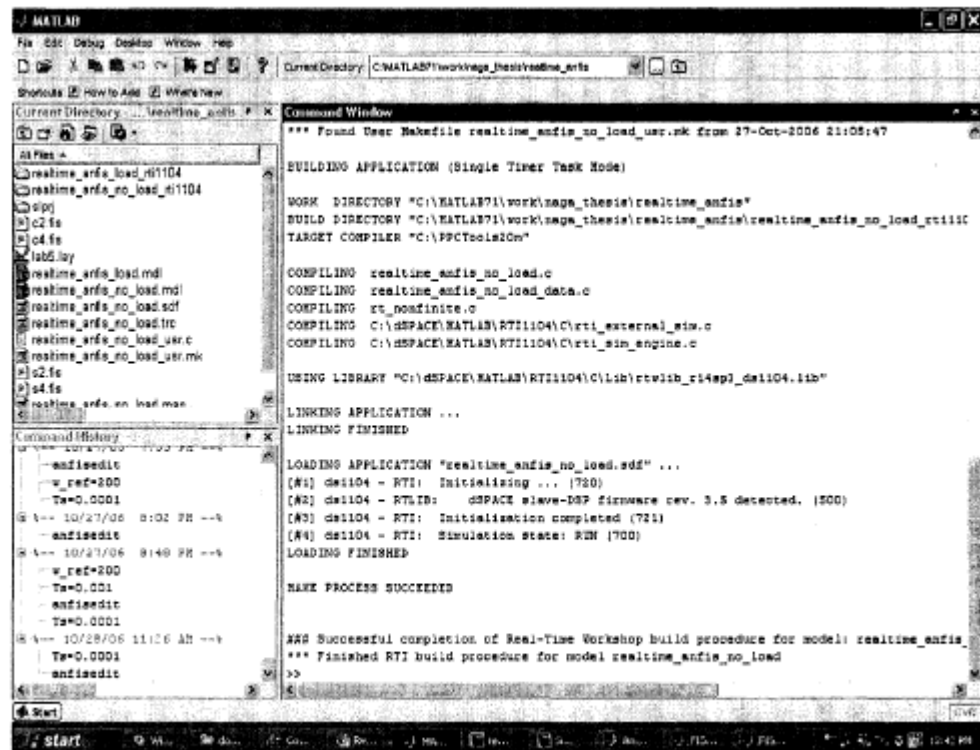


Figure 5.5. Successful completion of building real-time workshop.

وقتی کار ساخته شدن مدل در زمان واقعی به پایان رسید این به این معنی است که همه فایل های مورد نیاز برای اجرا در حافظه DSP بار شده و اجرا شروع می شود . ما از dsPACE control desk به منظور مشاهده کردن ، اصلاح کردن و آنالیز متغیرها استفاده می کنیم . GUT dsPACE control desk یک می باشد که شبیه شکل 5.6 است .

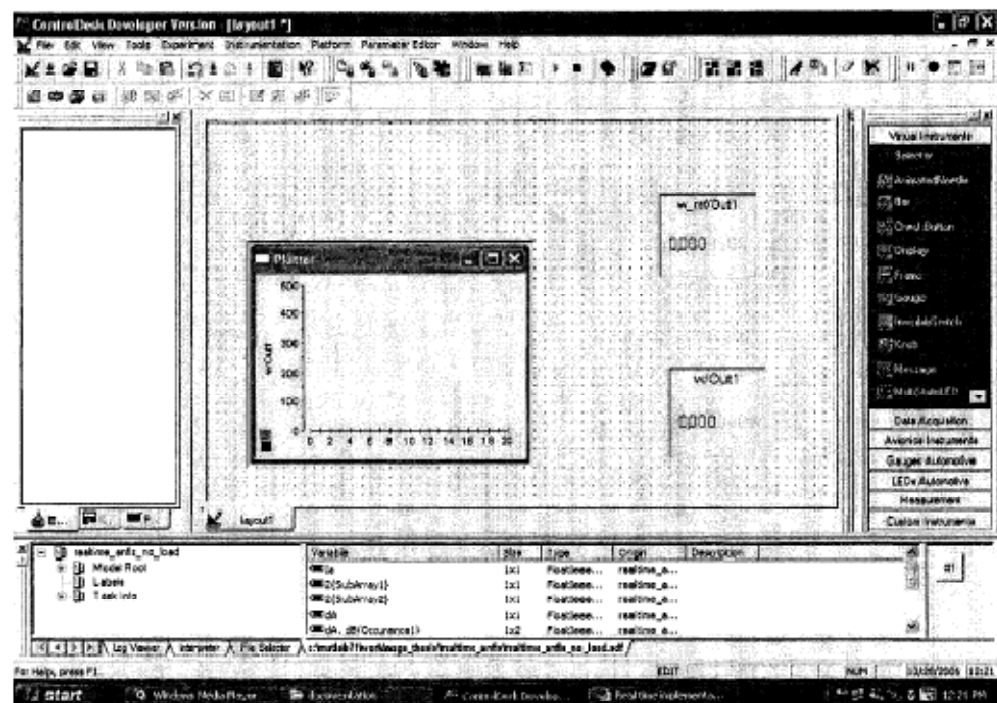


Figure 5.6. Control desk layout

۵-۱-۱. نتایج اجرا در زمان واقعی کنترلر ANFIS

وقتی تنظیمات در پنجره *control desk* انجام شد، با کلیک کردن روی دکمه *play* اجرای زمان واقعی شروع می شود . نتایج اجرا زمان واقعی کنترل کننده *ANFIS* در شکل 7.5 نشان داده شده است . همانطور که دیده می شود پاسخ زمانی بسیار خوب و خطای حالت ماندگار حدود 4 red/sec می باشد.

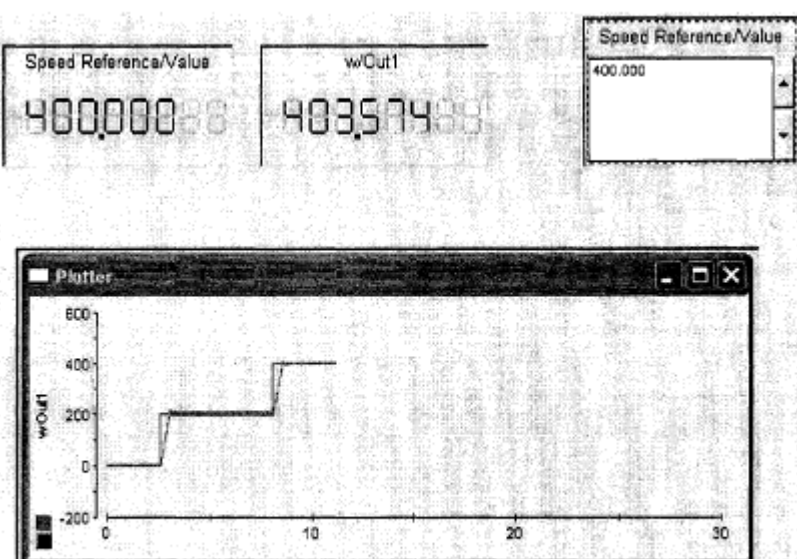


Figure 5.7. Results of using ANFIS controllers

نتایج استفاده از کنترل کننده **ANFIS** برای سرعت های مختلف در پیوست **D** آمده است.

۲-۵. مدل سیمولینک در زمان واقعی کنترل کننده **PID**

مدل سیمولینک در زمان واقعی کنترل کننده **PID** شبیه مدل زمان واقعی **ANFIS** می باشد با این تفاوت که کنترل کننده های سرعت و جریان موجود در مدل به جای اینکه از نوع **ANFIS** باشند ، از نوع **PID** هستند. برای کنترل کننده های جریان و سرعت یک ورودی **reset** اضافه شده است. زمان نمونه برداری روی **0.001** و زمان شبیه سازی از صفر تا بینهایت تنظیم شده است. سرعت مرجع به صورت یک سیگنال شیب ثابت می باشد. مدل سیمولینک کنترل کننده **PID** در زمان واقعی در شکل ۸.۵ نشان داده شده است.

۲-۶. نتایج تحلیل زمان واقعی کنترل کننده **PID**

نتایج شبیه سازی زمان واقعی استفاده از کنترل کننده **PID** در شکل ۵.۹ نشان داده شده است. همانطور که از روی شکل ملاحظه می شود می توان دریافت که پاسخ زمانی کنترل کننده **PID** کمی کندر از کنترل کننده **ANFIS** می باشد. این در حالی است که خطای حالت ماندگار **PID** کمتر از **1 red/sec** و حدود **1** می باشد.

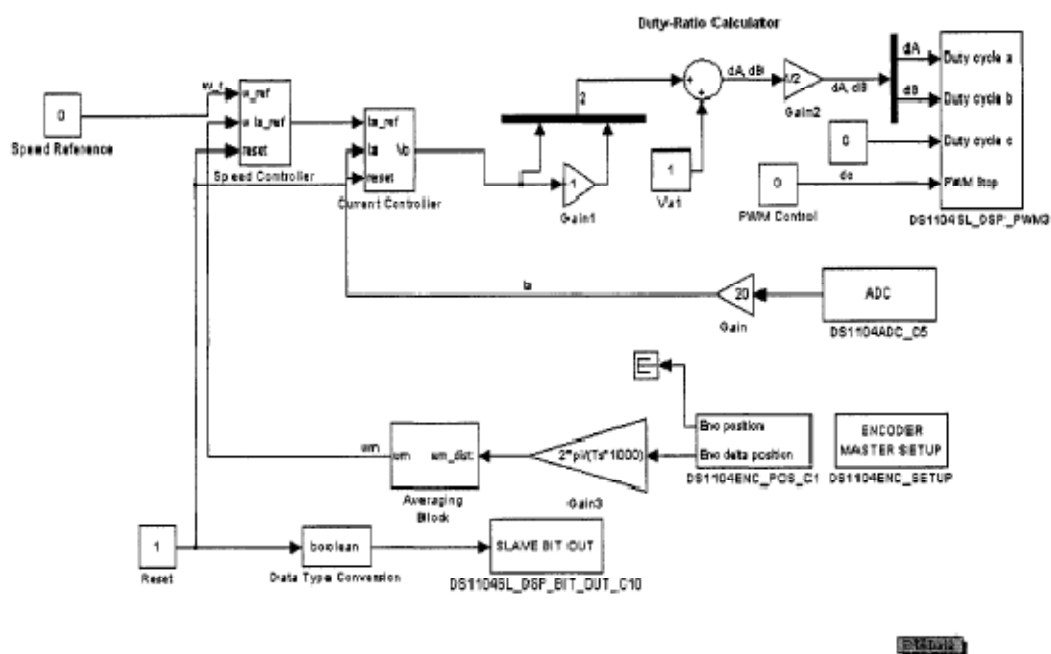


Figure 5.8. Real-time simulink model using PID speed and current controllers.

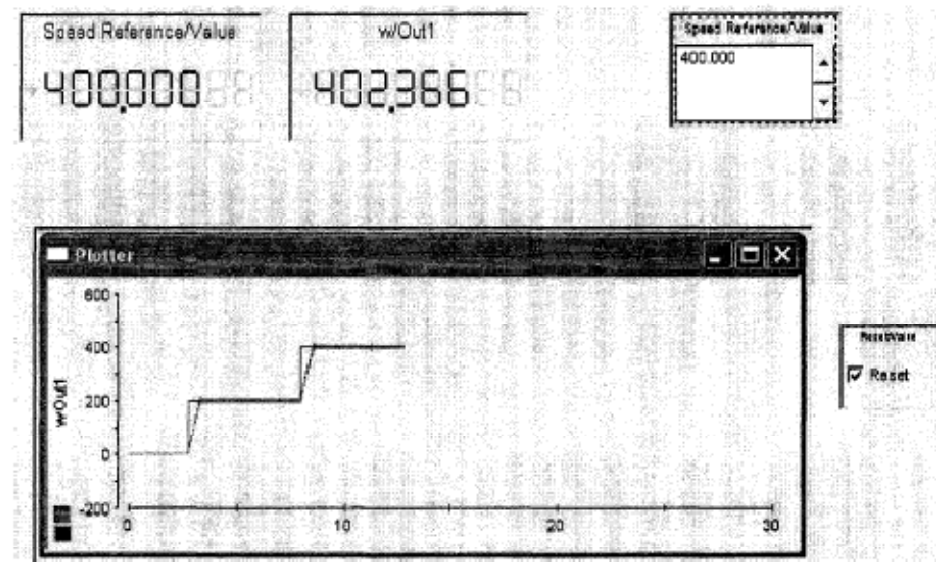


Figure 5.9. Real-time results of using PID controllers.

نتایج شبیه سازی کنترل کننده **PID** در زمان واقعی برای سرعت های مختلف در پیوست **D** آمده است.

۳-۵. نتایج شبیه سازی زمان واقعی برای بارهای آشفته (پاراژیتی)

در این قسمت یک بار آشفته به موتور اعمال می شود و نتایج کنترل کننده های **PID** و **ANFIS** مشاهده می گردد. شکل 5.10 و 5.11 به ترتیب پاسخ زمانی کنترل کننده **ANFIS** و **PID** را برای یک بار آشفته نشان می دهد. این نتایج بدست آمده در حالی است که موتور از قبل با سرعت ۵۵ در حال حرکت بوده است. محور *x*ها معرف زمان و محور *y*ها معرف سرعت می باشد.

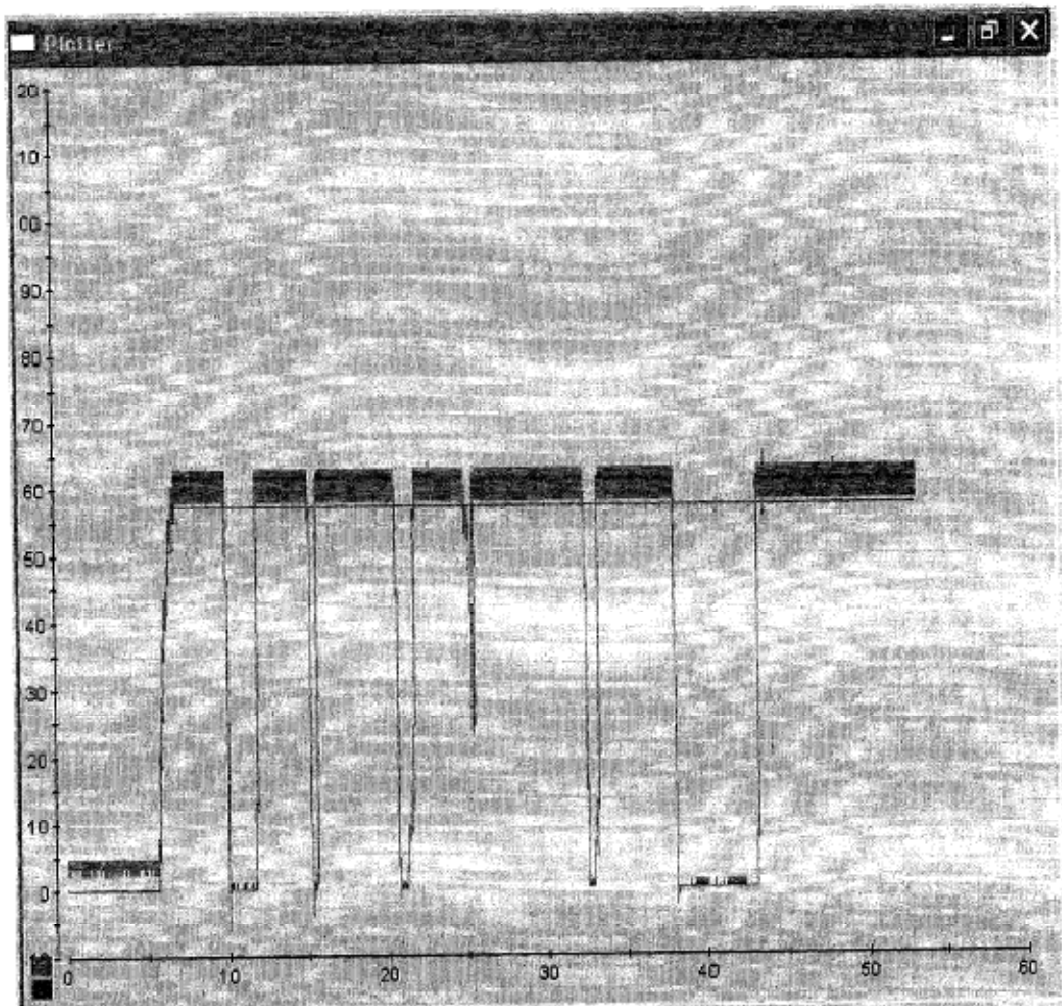


Figure 5.10. Real-time results of using ANFIS controllers with load disturbances

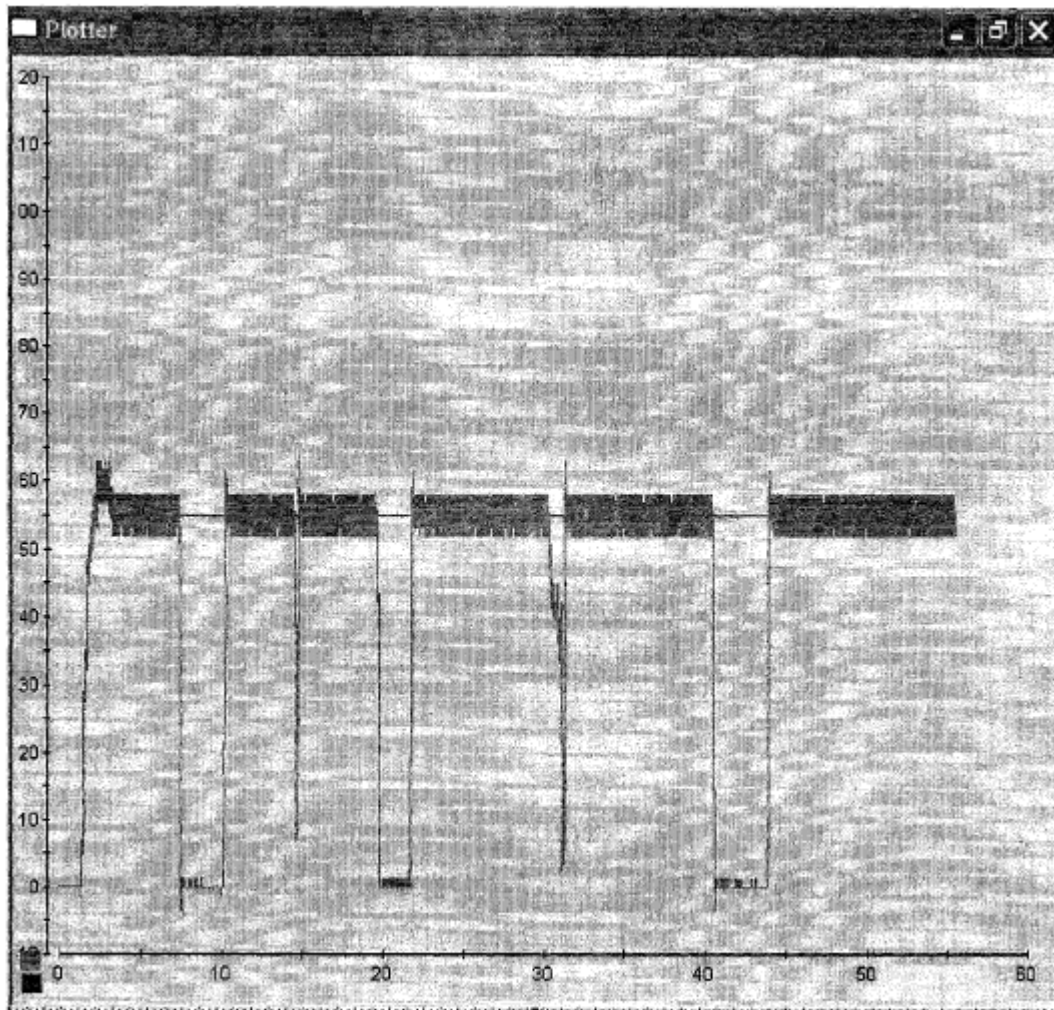


Figure 5.11. Real-time results of using PID controllers with load disturbances

همانطور که از نتایج پاسخ زمانی کنترل کننده **PID** مشاهده می شود این کنترل کننده وقتی بار آشفته اعمال می شود دارای اورشوت هایی در شکل موج می باشد. نتایج پاسخ زمانی کنترل کننده **ANFIS** برای بارهای آشفته نشان می دهد که شکل موج با وجود اینکه یک خطای حالت ماندگار کوچک وجود دار ولی اورشوتی وجود ندارد. بنابراین در جاهایی که بارهای آشفته وجود دارد عملکرد کنترلر **ANFIS** خیلی بهتر از **PID** می باشد.

فصل ششم

۶. نتیجه گیری

نتایج این پایان نامه در کنترل موتور DC با استفاده از سیستم استنتاج فازی عصبی تطبیقی (*Adaptive*) با استفاده از سیستم $ANFIS$ (Neuro- Fuzzy INFERENCE System) مفید و موفقیت آمیز بوده و کنترل کننده $ANFIS$ با موفقیت با یادگیری از کنترل کننده PID طراحی شد.

شبیه سازی ها در *MATLAB/Simulink* انجام شده و عملکرد سیستم در زمان واقعی با استفاده از *dsPACE* دانلود شده و به وسیله *dsPACE* اجرای زمان واقعی آن انجام شد. عملکرد هر دو کنترلر $ANFIS$ و PID در گشتاورهای بار مختلف ارزیابی شد و ملاحظه گردید که از لحاظ فاکتورهای زمان خیز و زمان نزول سیستم، $ANFIS$ عملکرد بهتری داشت.

از لحاظ فاکتور خطا حالت ماندگار PID عملکرد بهتری نسبت به $ANFIS$ داشت. خطای حالت ماندگار $ANFIS$ حدود 4 rad/sec بود. گشتاور آشفته به صورت دو گشتاور $0.0/0.4 N\cdot m$ و $0.3/0.4 N\cdot m$ مدل سازی شد و نتایج در شبیه سازی ملاحظه گردید و در یافتیم که عملکرد دو کنترلر در گشتاور $0.4 N\cdot m$ شبیه به هم بود در حالی که در گشتاور $0.3 N\cdot m$ عملکرد $ANFIS$ کمی بهتر از PID بود.

همچنین عملکرد PID و $dsPACE$ مورد ارزیابی قرار گرفت و نتیجه گرفتیم که از نظر خطاهای حالت ماندگار PID در حد ناچیز از $ANFIS$ چشم پوشی کنیم. در کل عملکرد در زمان واقعی $ANFIS$ بهتر از PID می باشد. اما باید توجه داشت اگر روی خطای حالت ماندگار خیلی حساس باشیم بهتر است از PID استفاده کنیم.

۶-۱. کارهای بعدی

برای کنترل سرعت موتور DC همانطور که هدف این پایان نام بود طراحی شد. کارها و تحقیقات بیشتری در مورد $ANFIS$ در آینده می توان انجام داد که تعدادی از آنها در زیر لیست شده اند: کنترل کننده $ANFIS$ که در این پایان نامه بحث شد فقط دارای یک ورودی یعنی خطای بین مقدار مرجع و مقدار واقعی بود. کنترل کننده $ANFIS$ میتواند به دو ورودی یکی خطای دیگر مشتق گیر توسعه یابد که در این صورت خطای حالت ماندگار مینیمم می شود.

کنترل کننده *ANFIS* می تواند برای کنترل سرعت موتور *DC* در نوسانات بار ناشناخته و رندوم نیز طراحی شود.

الگوریتم یادگیری هیبریدی که از ترکیب الگوریتم های حداقل مربعات و تندترین شب ایجاد شده بود در این پایان نامه استفاده شد. اما قواعد های یادگیری پیشرفته تری وجود دارد که می توان با ترکیب آنها با منطق فازی عملکرد بهتری را برای سیستم به ارمغان آورد.

کنترل کننده *ANFIS* را می توان برای الکتروموتورهای مختلف نظیر موتور *ac* ، استپر موتور ، موتورهای القایی نیز به کار برد.

بیوست A

پارامترهای موتور DC

پارامترهای موتور **DC** که در یک **m-file** ذخیره می شود قبل از شبیه سازی اجرا می شود . در شکل زیر **m-file** مربوطه به یک موتور **DC** رانشان میدهد.

```
Editor: C:\MATLAB71\work\dc_motor_parameters.m
File Edit Test Cell Tools Debug Desktop Window Help
File Edit View Insert Cell Tools Window Help
1 % 1 Parameters for Cascaded (Speed) Control of DC Motor
2 % All parameter values are in SI units
3 %
4 %
5 %
6 % clear; clc; format short vi format compact; close all;
7 %
8 % dc motor parameters
9 %
10 Vn = 42;
11 V_trin = 13;
12 Ts = .005;
13 %
14 Ra = 0.9455;
15 k_E = .082;
16 m_K_T = k_E;
17 B = .0001;
18 Tb_0 = .0736; % T_friction;
19 %
20 Lm = .00419;
21 J = .0008;
22 %
23 k_pwm = Vn/V_trin;
24 tau_e = Lm/Ra;
25 %
26 %
27 disp('Parameters loaded...');

start File M W Editor: C:\MATLAB71\ New Project Word End 25 Oct 1
```

Figure A1. DC motor parameters

پارامترهای موتور DC با انجام آزمایش های روی سیستم کنترل حلقه باز موتور DC بار و بدون بار بدست مص. آبد.

پارامترهای حالت ماندگار از روی مشخصه گشتاور سرعت موتور DC همراه با بار محاسبه می شوند.

مقدمه ای بر **dsPACE**

یک بک کنترلی بسیار قوی می باشد که با پردازنده **TMS3220C31 DSP** ساخت شرکت تگزاس کار می کند. سیمولینک میتواند مستقیماً با **dsPACE** ارتباط برقرار کند . این امکان را فراهم میکند تا طرح مدل شده در سیمولینک را مانند یک نمونه اولیه ساخته شده از طرح آزمایش کنیم. این کار با دانلو کردن مدل سیمولینک در **DSP** انجام می شود.

ویژگی های اصلی **dsPACE** عبارتند از :

- ۱ - **dsPACE** یک سیستم بامعماری باز (*Open architectar*) می باشد بدین معنی که هر ماشین با هر الگوریتم کنترلی را می توان با آن مورد آزمایش قرار داد.
 - ۲- پیکربندی نرم افزاری **dsPACE** : بدین معنی که با اصلاح کردن ساده مدل سیمولینک ، هر موتور را با هر حلقه کنترلی میتواند درایو کند.
 - ۳- نرم افزار **dsPACE** نیازی به دانستن زبان های برنامه نویسی نظیر **C** و اسمبلي و ..ندارد.
- control** شامل سخت افزاری به نام بورد کنترل کننده (**DS1104R8D**) و یک نرم افزار به نام **dsPACE desk** می باشد.

برد کنترلی : **DS1104R8D**

یک برداستاندارد **PCI** است که در اسلات **PCI** کامپیوتر جا می خورد . این بورد اساساً برای ساخت کنترل کننده های دیجیتال با سرعت بالا و شبیه سازی زمان واقعی ساخته شده است. پردازنده ای که در آن به کار رفته از نوع **PC603e** می باشد. مشخصات این پردازنده در زیر لیست شده است.

1. High performance super-scalar microprocessor.
2. Five independent execution units and two register files.
3. High instruction data throughput.
4. Facilities for enhanced system performance.
5. Integrated power management [17].

همچنین این بورد شامل یک زیر سیستم *slave _ DSP* مبتنی بر **TMS320F240** برای ارتباط *I/O* می باشد. مشخصات **TMS320F240** در زیر لیست شده اند:

1. Is the integration of DSP core and micro controller.
2. Can execute 20 million instructions/second.
3. Contains all the peripherals needed to provide single chip stand alone DSP controller.
4. Is designed specially for digital motor control.
5. Controls the motor without the use of any position sensor to give rotor's position and speed [16].

مشخصات بورد کنترلی **DS1104 R&D** به شرح زیر است :

1. Master PPC represents the computing power of board.
2. Slave DSP features I/O units in addition to those in Master PPC.
3. Memory comprised of DRAM and flash memory.
4. Timers provide a sample rate timer, a time base counter and 4 general-purpose timers.

شکل زیر معماری و بلوکهای توابع **DS1104** را نشان می دهد.

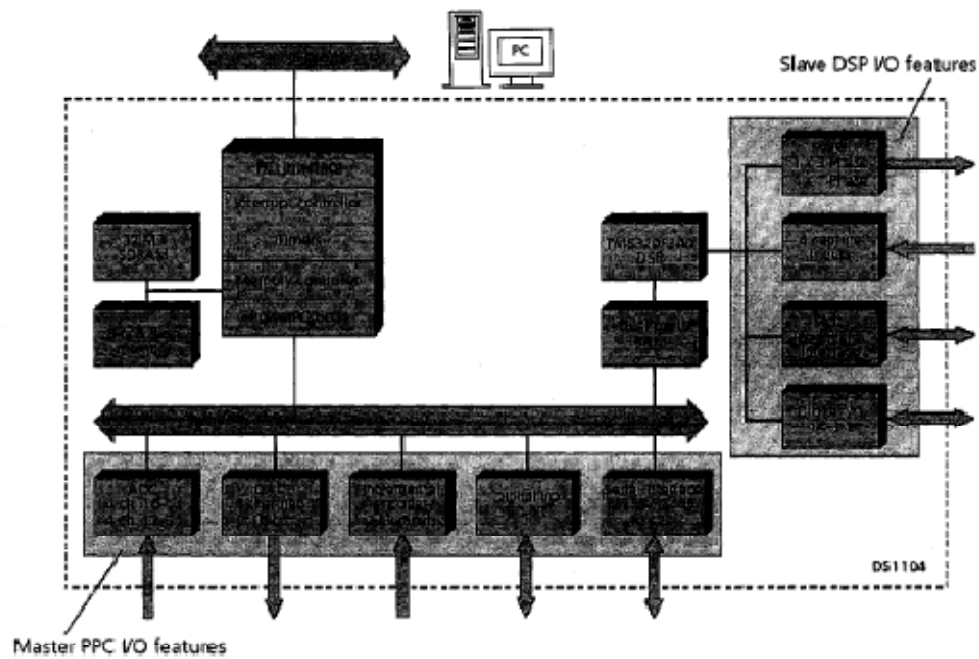


Figure B1. Architecture and functional units of DS 1104 [18].

جدول زیر مشخصات بورڈکنترلی *R&D* را نشان می دهد.

Parameters	Characteristics
Main Processor	<ul style="list-style-type: none"> ■ MPC8240, PowerPC 603e core, 250MHz ■ 32 kB internal cache
Timers	<ul style="list-style-type: none"> ■ 1 sample rate timer, 32-bit downcounter ■ 4 general purpose timers, 32 bit ■ 64-bit time base for time measurement
Memory	<ul style="list-style-type: none"> ■ 32 MB synchronous DRAM (SDRAM) ■ 8 MB boot flash for applications
Interrupt Control Unit	<ul style="list-style-type: none"> ■ Interrupts by timers, serial interface, slave DSP, incremental encoders, ADC, host PC and 4 external inputs ■ PWM synchronous interrupt
Analog Input	<ul style="list-style-type: none"> ■ 4 ADC inputs with one ADC unit, 16 bit, multiplexed

	<ul style="list-style-type: none"> ■ ± 10 V input voltage range ■ 2 μs sampling time *) ■ > 80 dB signal-to-noise ratio ■ 4 ADC channels, 12 bit ■ ± 10 V input voltage range ■ 800 ns sampling time *) ■ > 65 dB signal-to-noise ratio
Analog Output	<ul style="list-style-type: none"> ■ 8 channels, 16 bit, 10 μs max. settling time ■ ± 10 V output voltage range
Incremental Encoder Interface	<ul style="list-style-type: none"> ■ Two digital inputs, TTL or RS422 ■ 24-bit digital incremental encoders ■ Max. 1.65 MHz input frequency, i.e. fourfold pulse counts up to 6.6 MHz ■ 5 V / 0.5 A sensor supply voltage
Digital I/O	<ul style="list-style-type: none"> ■ 20-bit digital I/O (bit-selectable direction) ■ ± 5 mA output current
Serial Interface	<ul style="list-style-type: none"> ■ Serial UART (RS232, RS485 or RS422)
Slave DSP Subsystem	<ul style="list-style-type: none"> ■ Texas Instruments' DSP TMS320F240 ■ 4 kWord of dual-port RAM ■ Three-phase PWM outputs plus 4 single PWM outputs ■ Frequency measurement (F/D) and generation (D/F), 4 channels each ■ 14 bits of digital I/O (TTL)
Physical Characteristics	<ul style="list-style-type: none"> ■ Power supply 5 V, 2.5 A / -12 V, 0.2 A / 12 V, 0.3 A ■ Operating temperature 0 to 55 °C (32 to 131 °F) ■ Requires one 33 MHz / 32-bit 5-V PCI slot ■ The I/O connector can be linked to two 50-pin, female Sub-D connectors using the adapter cable supplied.

Table B1. Specifications of R&D Controller board [19]

dSPACE نرم افزار

نرم افزار dSPACE از نوع نرم افزارهای رابط گرافیکی با کاربر یا همان *GUI* می باشد که محیطی گرافیکی را برای کاربر فراهم میکند. ابتدا قبل از اینکه مدل سیمولینک با dSPACE ارتباط برقرار کند،

باید آن را به صورت مدل زمان واقعی که قبلًا بحث شد ، در آورد. مدل زمان واقعی به وسایل خارجی از قبیل سیگنال ژنراتور وصل می شود.

نرم افزار **control desk** به ما کمک می کند تا متغیرها را در حین اجرای زمان واقعی بینیم و پارامترهای شبیه سازی شده را مشاهده و آنها را تغییر دهیم.

شکل زیر نمونه ای از پنجره **control desk** را نشان میدهد.

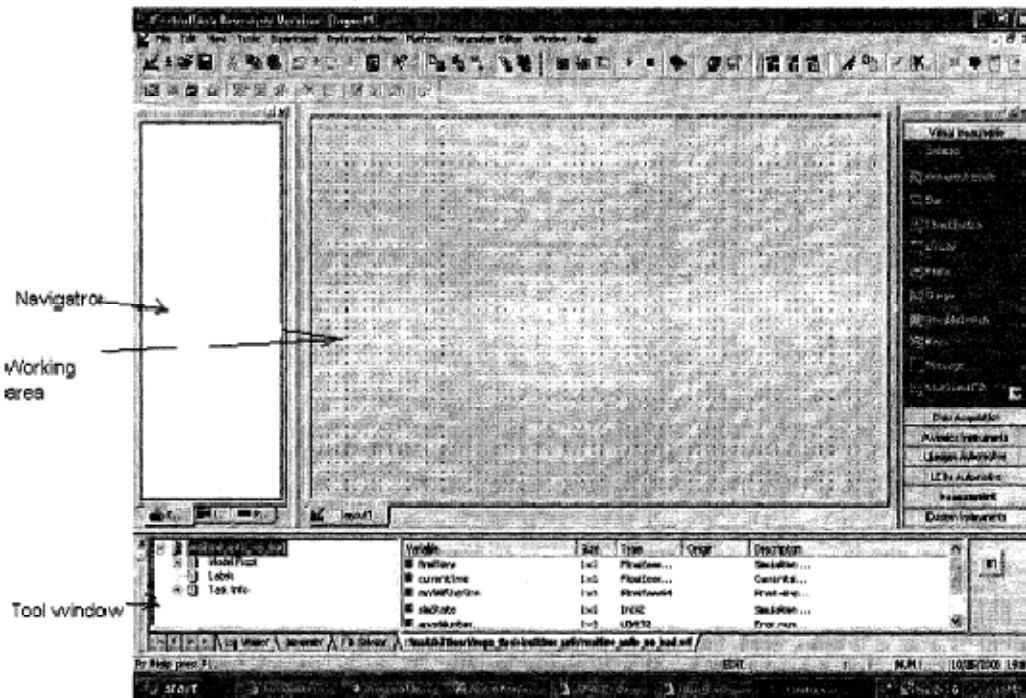


Figure B2. Control Desk window

همانطور که از شکل پیداست ، پنجره نرم افزار دارای قسمت **Navigator** می باشد که سه محیط مختلف را برای کاربر می تواند نشان دهد. این سه محیط عبارتند از **experiment view** ، **hardware view** و **tools** برای ابزارهای مختلفی استفاده میشود که در **Navigator** انتخاب شده اند.

پنجره **tools** تعدادی ابزار نظیر **File selector** ، **Interpreter** و **log-view** دارد . از بین ابزارها فقط دو ابزار به نام **parameter Editor** ، **Variable Browser** وجود دارند که شامل متغیرهای اجرایی می باشد. متغیرها با پسوند **.sdf** ذخیره می شوند .

سه حالت عبارتند از **Animation mode** ، **Edit mode** ، **Test mode** . شکل زیر نوار ابزاری که ساخت فوق را برای انتخاب کردن در اختیار کاربر می گذارد نشان میدهد.

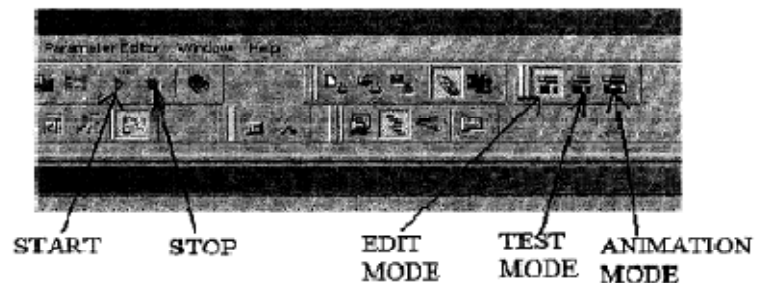


Figure B3. Execution and Animation Control toolbox [18].

دستورالعمل مرحله به مرحله انجام يك آزمایش با *dSPACE* در فلورچارت زیرنشان داده شده است. دو مرحله کلی وجود دارد. مرحله اول شامل ساخت يك مدل سيمولينك برای اجرا در *dSPACE* و مرحله دوم شامل اجرای زمان واقعی می باشد.

STEP 1

CREATING AND BUILDING DSP CODE WITH THE SIMULINK MODEL FILE

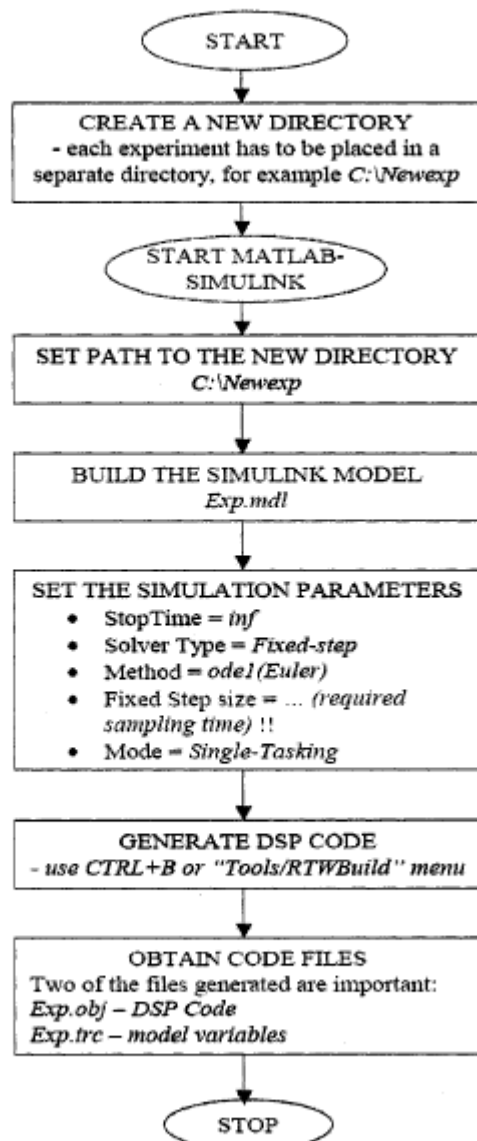


Figure B4. Flow chart for creating and building DSP Code

STEP 2

CREATING THE EXPERIMENT INTERFACE WITH dSPACE – CONTROL DESK

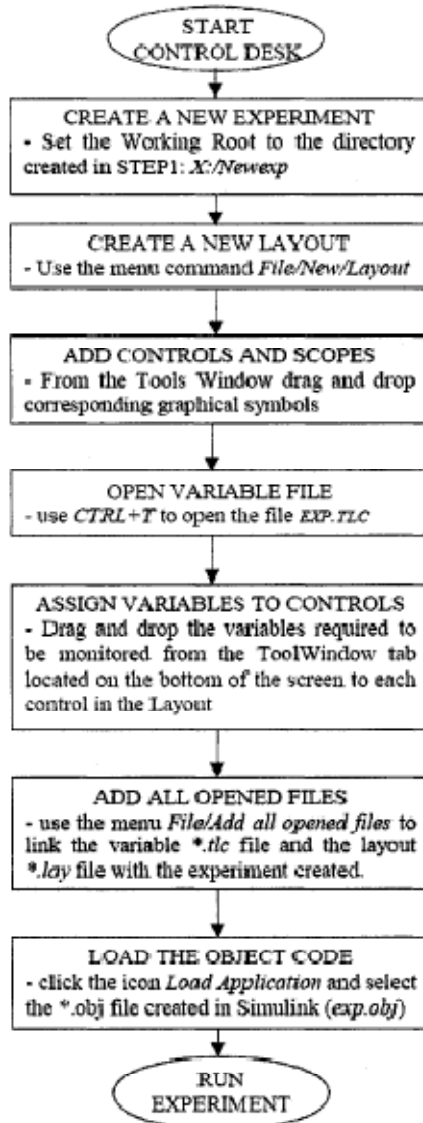


Figure B5. Flow chart for creating an experiment for interface between dSPACE and control desk [18].

(B-۲) : بورد درایو الکتریکی

بورد درایو الکتریکی در بسیاری از آزمایشگاههای ماشین *ac* و *DC* و آزمایشگاه های درایو الکتریکی استفاده می شود. در زیر ویژگی های بورد درایو لیست شده است.

دو اینورتر *PWM* مستقل برای کنترل همزمان چندماشین

ولتاژ باس 42 ولت

کانالهای ورودی **PWM** دیجیتال برای طراحی در زمان واقعی
ارتباط کامل دیجیتال و آنalog با بورد **dsPACE** است:
بلوک دیاگرام یک بورد الکتریکی در شکل زیر نشان داده شده است:

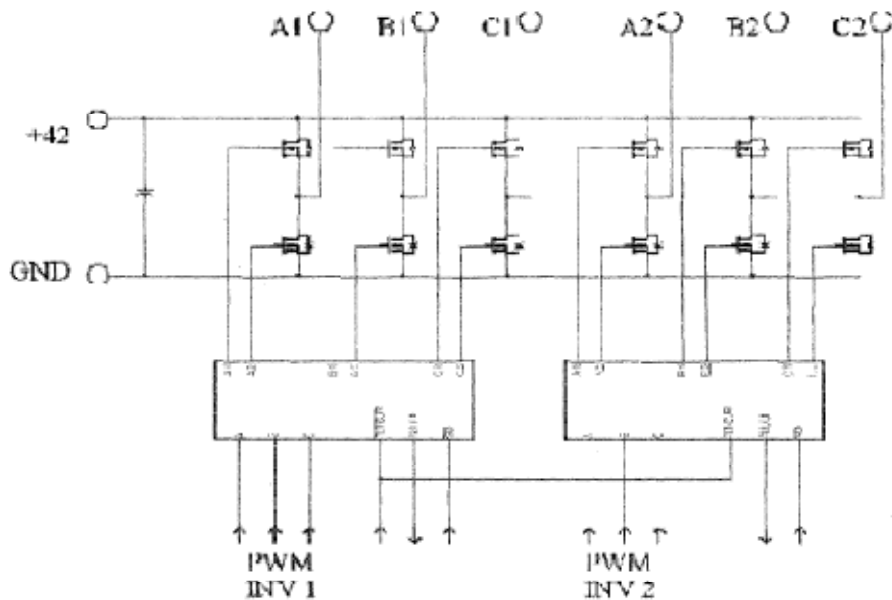


Figure B6. Block diagram of Electric drives board [19].

در دو اینورتر سه فاز استفاده شده دربورد الکتریکی المان سوئیچینگ **MOSFET** می باشد. خروجی اینورتر اول با **A1** و **B1** و **C1** علامتگذاری شده و خروجی اینورتر دوم با **A2** و **B2** و **C2** .
جریان خروجی اینورترها با سنسور **LEM** اندازه گیری می شود . فقط جریان های فازهای **A** و **b** اندازه گیری می شود و جریان فاز **C** از فرمول زیر بدست می آید:

$$I_a + I_b + I_c = 0$$

سنسور به ازای عبور جریان **I** ۰/۵ آمپر ۰/۵ ولت در خروجی خود ظاهر می کند.
* حفاظت در برابر فالت : بوردهای درایو شامل حفاظت اضافه جریان برای هر اینورتر می باشند. **LED** قرمز رنگ نشان دهنده اضافه جریان در اینورتر می باشد . با فشردن دکمه **reset** می توان **LED** را کرد.

TRAINING DATA FOR ANFIS

Speed training data		Current training data	
Error	Output	Error	Output
200	5	5	1
175	5	0.1	1
150	5	0.25	0.5
125	5	-0.1	0.1
100	5	0.25	0.4
75	5	0	0.4
50	5	0	0.4
25	5	0	0.4
10	5	0	0.4
8	5	0	0.4
5	5	0	0.4
2	5	0	0.4
1	5	0	0.4
0	5	3.4	1
0	1.15	3	1
0	1.15	2.5	1
0	1.15	2	1
0	1.15	1	1
0	1.15	0.5	1
0	1.15	0.05	0.5
0	1.15	0.1	0.55
200	5	0.2	0.7
175	5	0.25	0.85
150	5	0.15	0.85
125	5	0.1	0.85
100	5	0	0.85
75	5	0	0.85
50	5	0	0.85
25	5	0	0.85
10	5	0	0.85
8	5	0	0.85
5	5	0	0.85
2	5	0	0.85
1	5	0	0.85
0.5	2	0	0.85
0	1.35		
0	1.35		
0	1.35		
0	1.35		

CHECKING DATA FOR ANFIS

Speed checking data		Current checking data	
Error	Output	Error	Output
200	5	5	1
210	5	0.1	1
200	5	0.25	0.5
175	5	-0.1	0.1
150	5	0.25	0.2
125	5	0	0
100	5	0	0
75	5	0	0
50	5	0	0
25	5	0	0
10	5	0	0
5	5	0	0
4	5	0	0
3	5	3.4	1
2	5	3	1
1	5	2.5	1
0.5	4.5	2	1
0	4	1	1
0	3.9	0.5	1
0	3.9	0.05	0.5
0	3.9	0.1	0.55
200	5	0.2	0.7
175	5	0.25	0.7
150	5	0.15	0.7
125	5	0.1	0.7
100	5	0	0.7
75	5	0	0.7
50	5	0	0.7
25	5	0	0.7
10	5	0	0.7
5	5	0	0.7
4	5	0	0.7
2	5	0	0.7
1	5	0	0.7
0.5	4.5		
0.2	4.1		
0.2	4.1		
0.2	4.1		

REAL-TIME RESULTS

Real-time results using ANFIS controllers at different speeds:

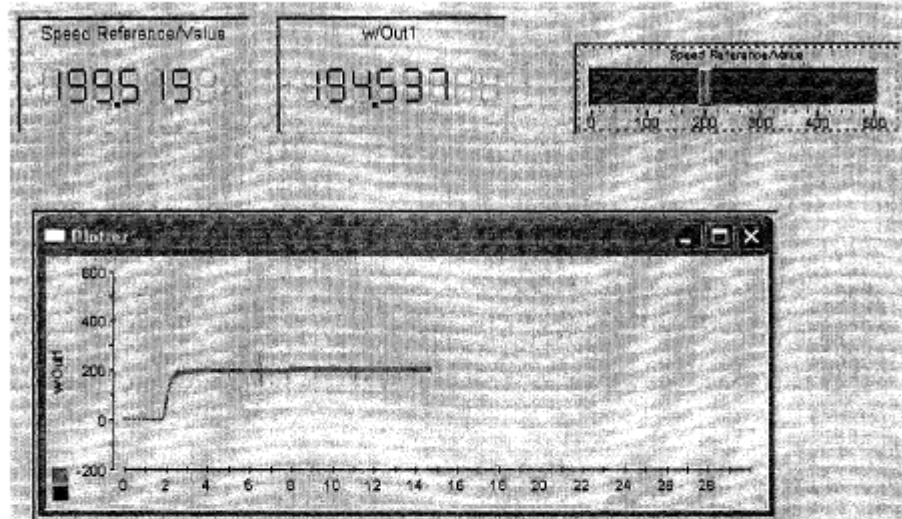


Figure D1. At reference speed = 199.5 rad/sec

When reference speed is given as 199.5 rad/sec, the output is 194.537 rad/sec.

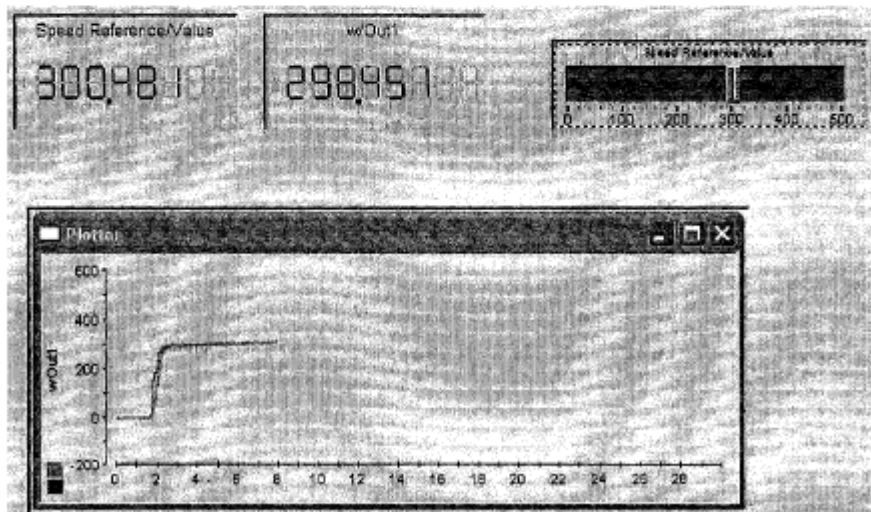


Figure D2. At reference speed = 300.48 rad/sec

When reference speed was set at 300.48 rad/sec, the output was 298.451 rad/sec

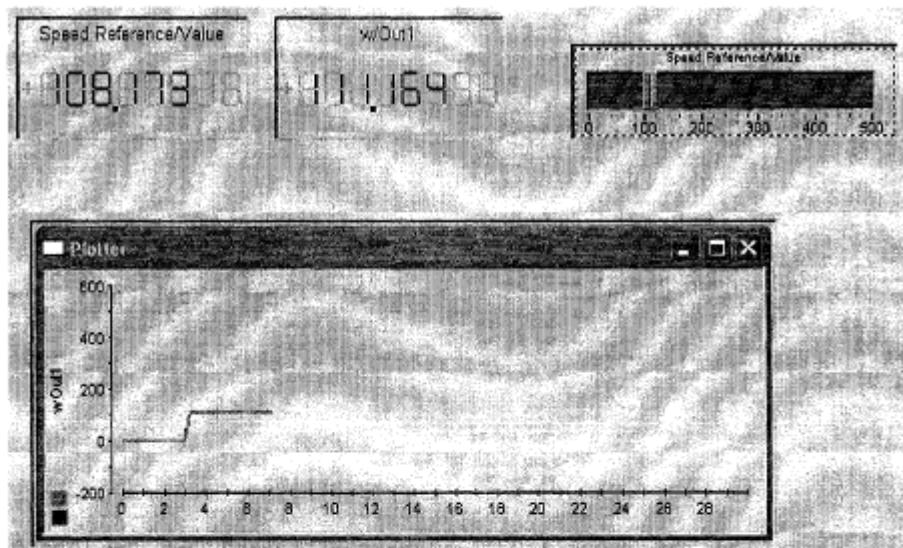


Figure D3. At reference speed = 108.17 rad/sec

When reference speed was set at 108.17 rad/sec and 396.63 rad/sec, the output was 111.164 rad/sec and 396.32 rad/sec respectively.

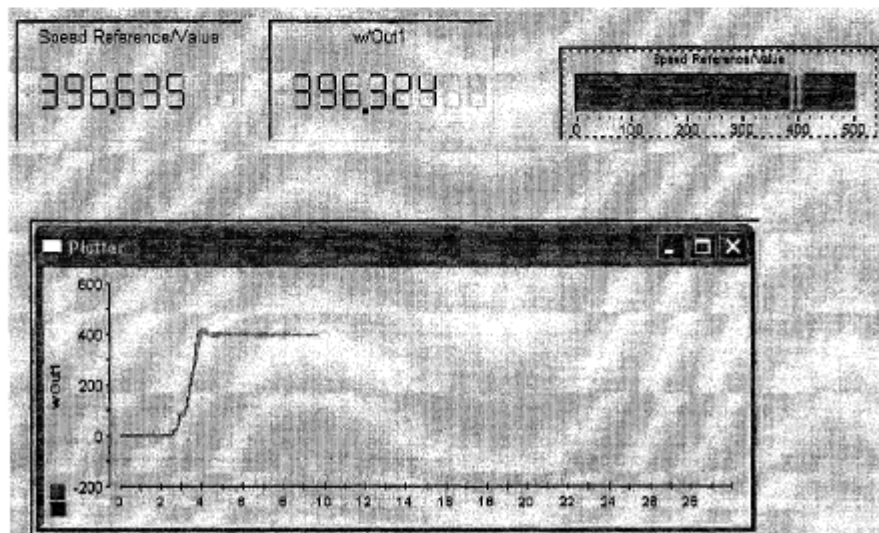


Figure D4. At reference speed = 390.58 rad/sec

Real-time results of using PID controllers at different speeds:

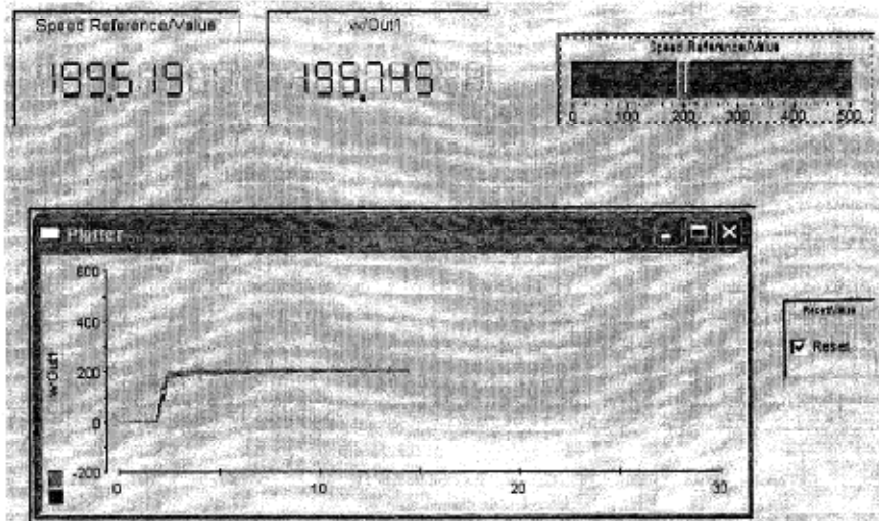


Figure D5. At reference speed = 199.51 rad/sec

When reference speed was set at 199.51 rad/sec and 103.36 rad/sec, the output was 195.74 rad/sec and 103.914 rad/sec respectively.

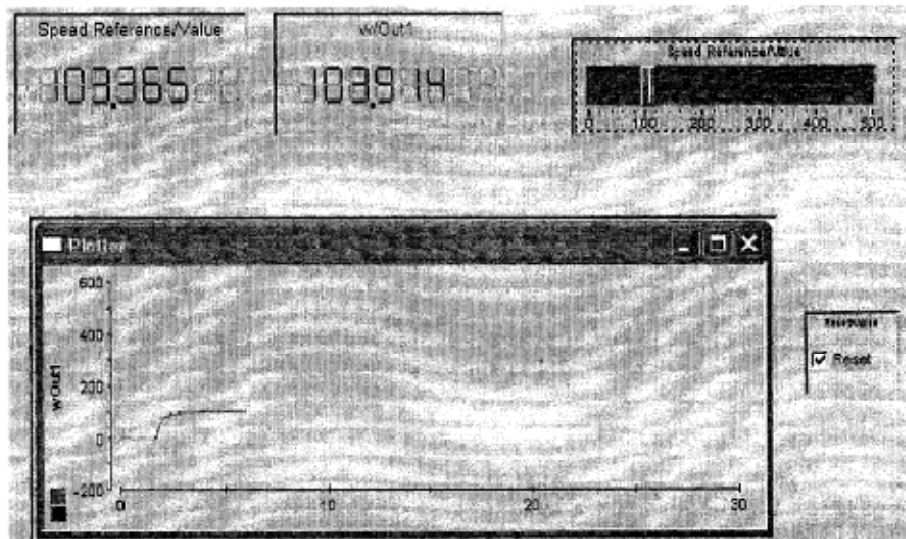


Figure D6. At reference speed = 103.36 rad/sec

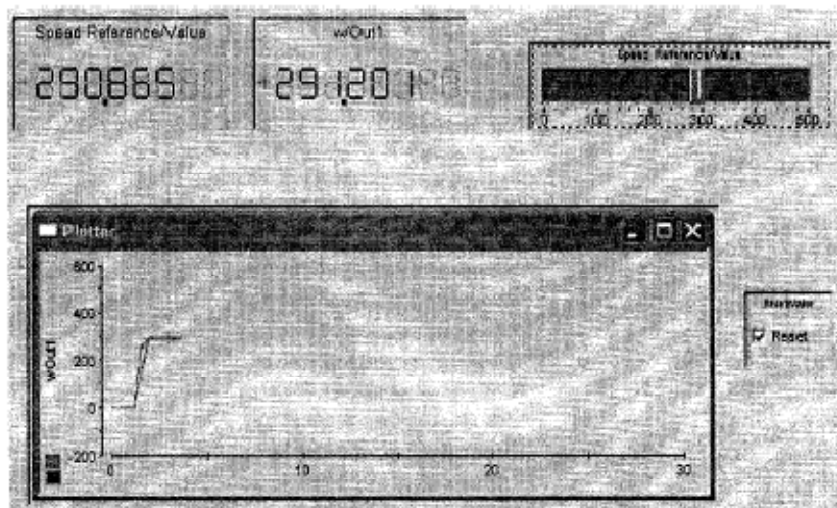


Figure D7. At reference speed = 290.865 rad/sec

When reference speed was set at 290.865 rad/sec and 360.57 rad/sec, the output was 291.20 rad/sec and 358.86 rad/sec respectively.

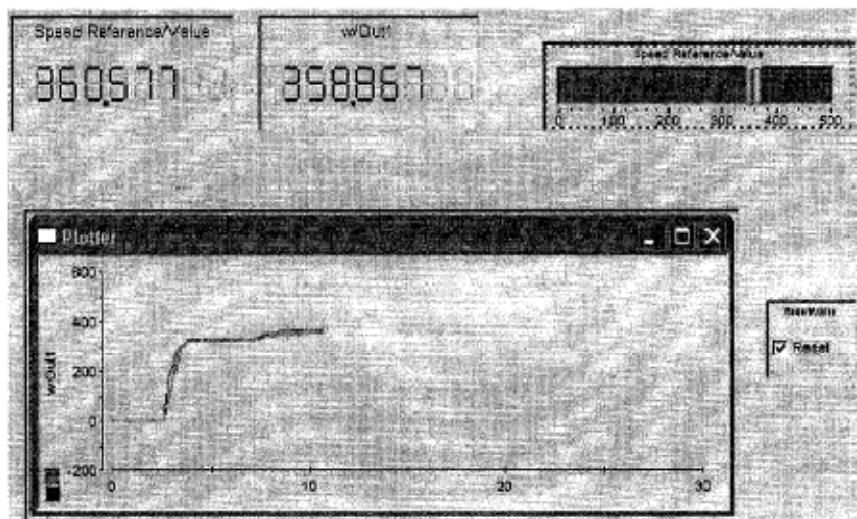


Figure D8. At reference speed = 360.577 rad/sec

Figures D9 and D10 shows the responses for a step change to PID and ANFIS controllers respectively.

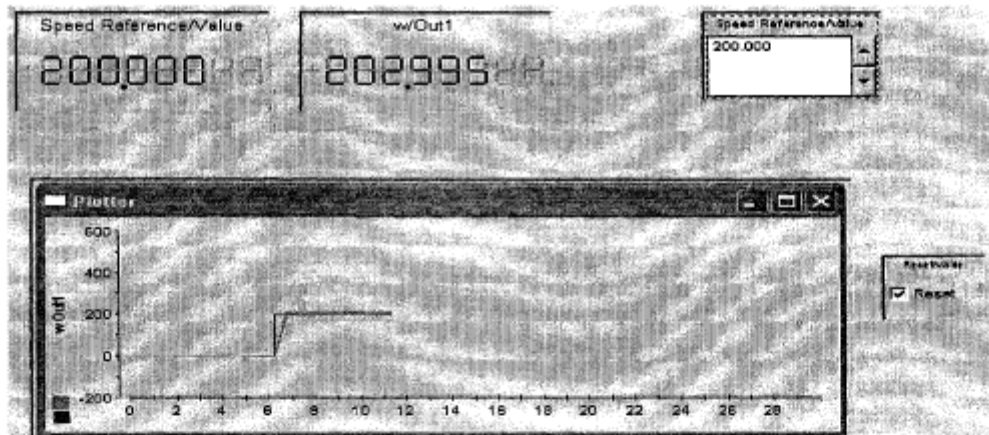


Figure D9. Response of PID at reference speed = 200 rad/sec

(step change from 0 to 200 rad/sec)

When a reference speed of 200 rad/sec was given with a step change from 0 to 200 rad/sec to a PID controller, the output is 202.99 rad/sec. It is observed that the steady state error is ~3 rad/sec and there is a slight delay in the rise time. When the same input is given to ANFIS controller, the output is 202.995 rad/sec. It is observed that the steady state error is ~3 rad/sec while the rise time is good when compared to PID controllers.

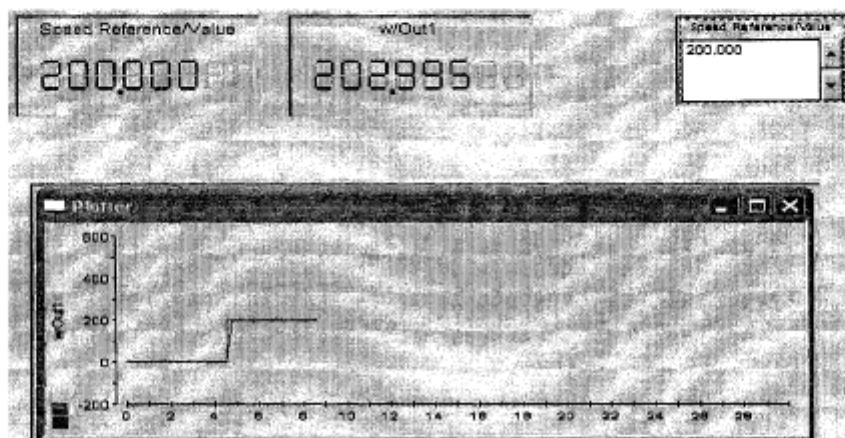


Figure D10. Response of ANFIS at reference speed = 200 rad/sec

(step change from 0 to 200 rad/sec)